

Politechnika Krakowska
Wydział Inżynierii Lądowej
Instytut Mechaniki Budowli
Katedra Wytrzymałości Materiałów

Podstawy teorii wytrzymałości materiałów komórkowych w oparciu o energetyczne kryteria stanów granicznych

Piotr Kordzikowski

Kraków 2006

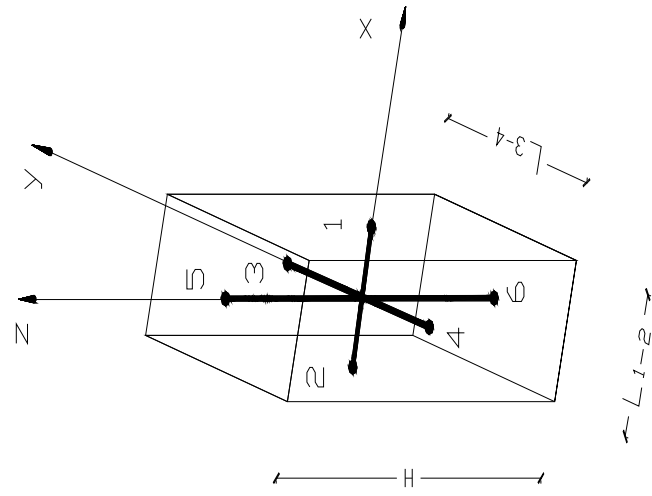
PLAN PREZENTACJI

-2-

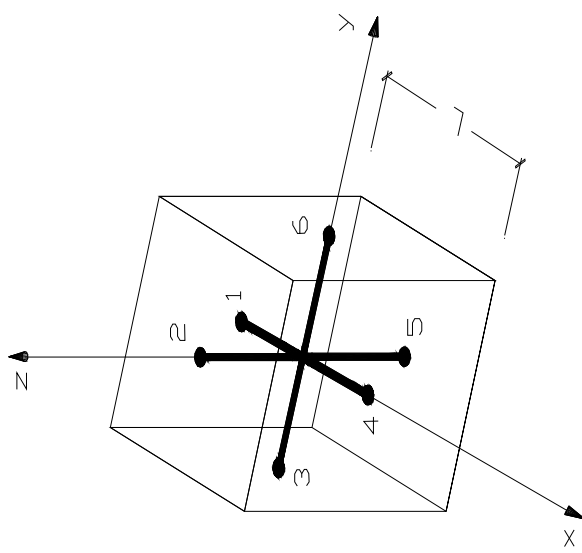
- Przedmiot badań
- Cel pracy
- Aktualne problemy dotyczące zastosowań, wytwarzania i modelowania własności mechanicznych materiałów komórkowych na podstawie literatury
- Podstawy teorii sprężystych stanów własnych i stanów granicznych materiałów anizotropowych
- Kryteria energetyczne dla materiałów komórkowych
- Analiza rozkładu gęstości energii stanów granicznych
- Porównanie otrzymanych rezultatów z danymi prezentowanymi w literaturze
- Literatura

PRZEDMIOT BADAŃ

Materiały komórkowe o szkielecie regularnym

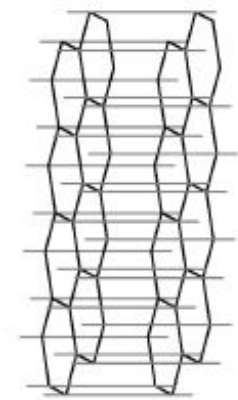
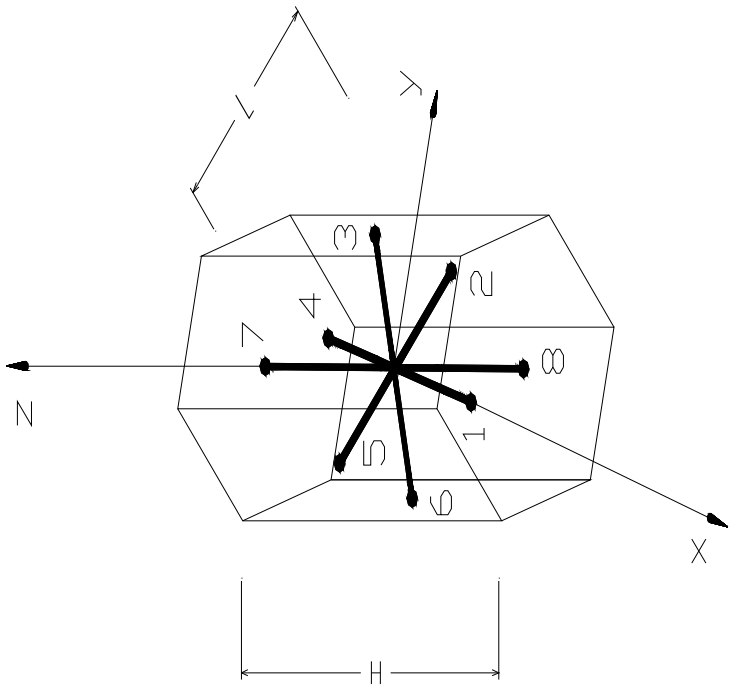


Komórka sześcienna

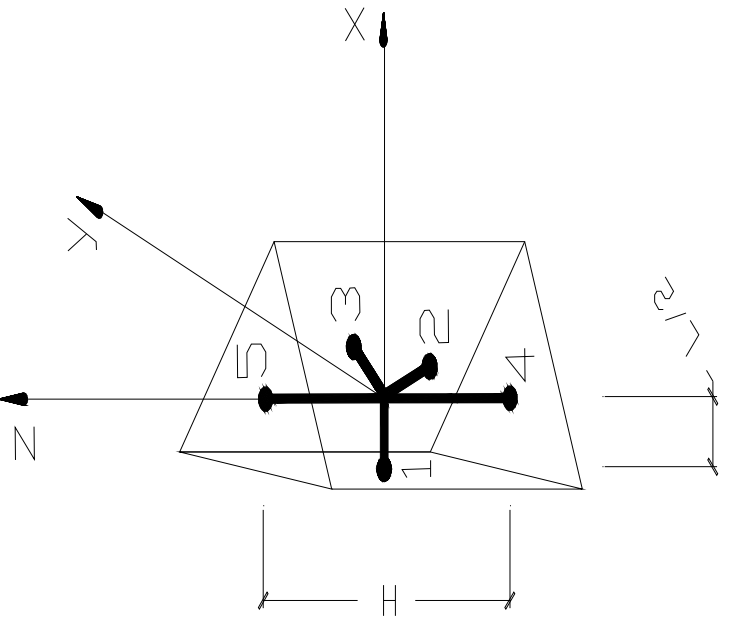


Komórka prostopadłościenna

Komórka w postaci pryzmy
o podstawie sześciokąta
foremnego



Komórka w postaci pryzmy
o podstawie trójkąta
równobocznego



CEL PRACY

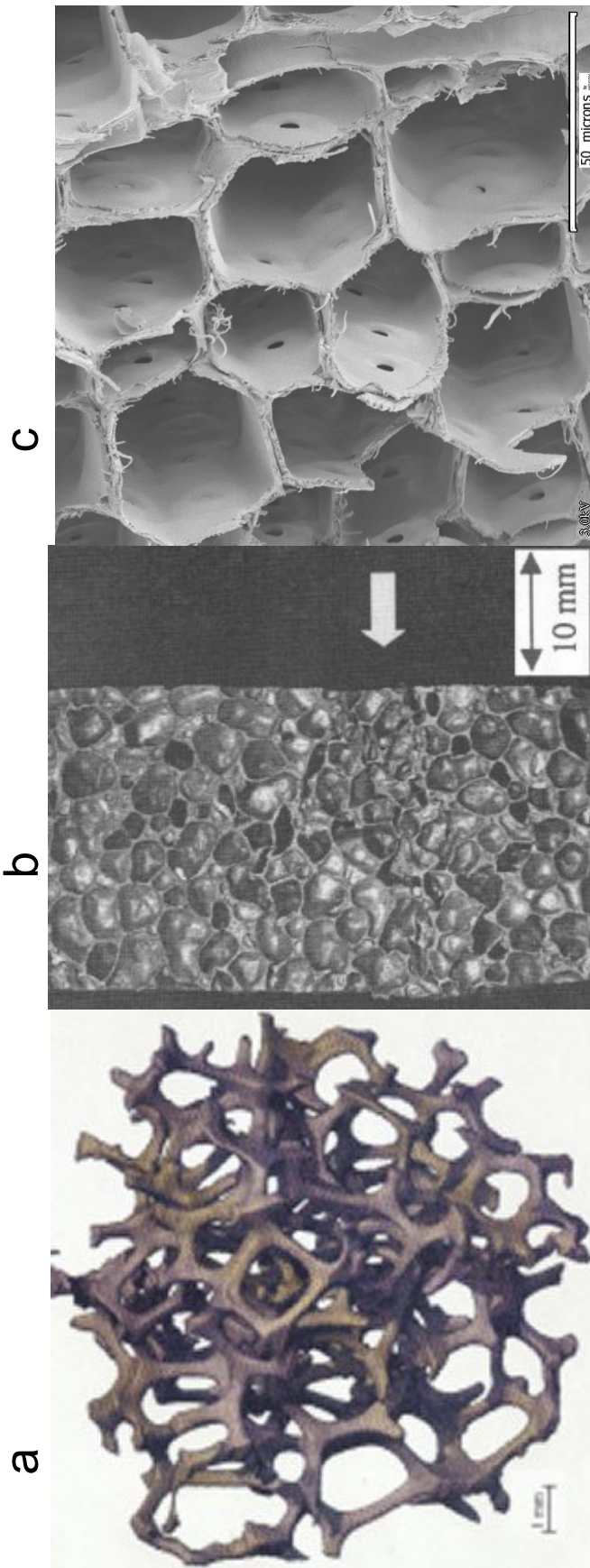
Opracowanie teorii wytężenia materiałów komórkowych z uwzględnieniem parametrów mikrostruktury szkieletu z zastosowaniem teorii sprężystych stanów własnych i energetycznych warunków granicznych podanych przez J. Rychlewskiego [1984].

Zastosowanie do materiałów komórkowych propozycji, że graniczne wartości gęstości energii sprężystych Φ_p^{gr} dla poszczególnych stanów własnych można obliczać z mikrostrukturalnego modelu materiału (K. T. Nalepka, R. B. Pęcherski [2003]).

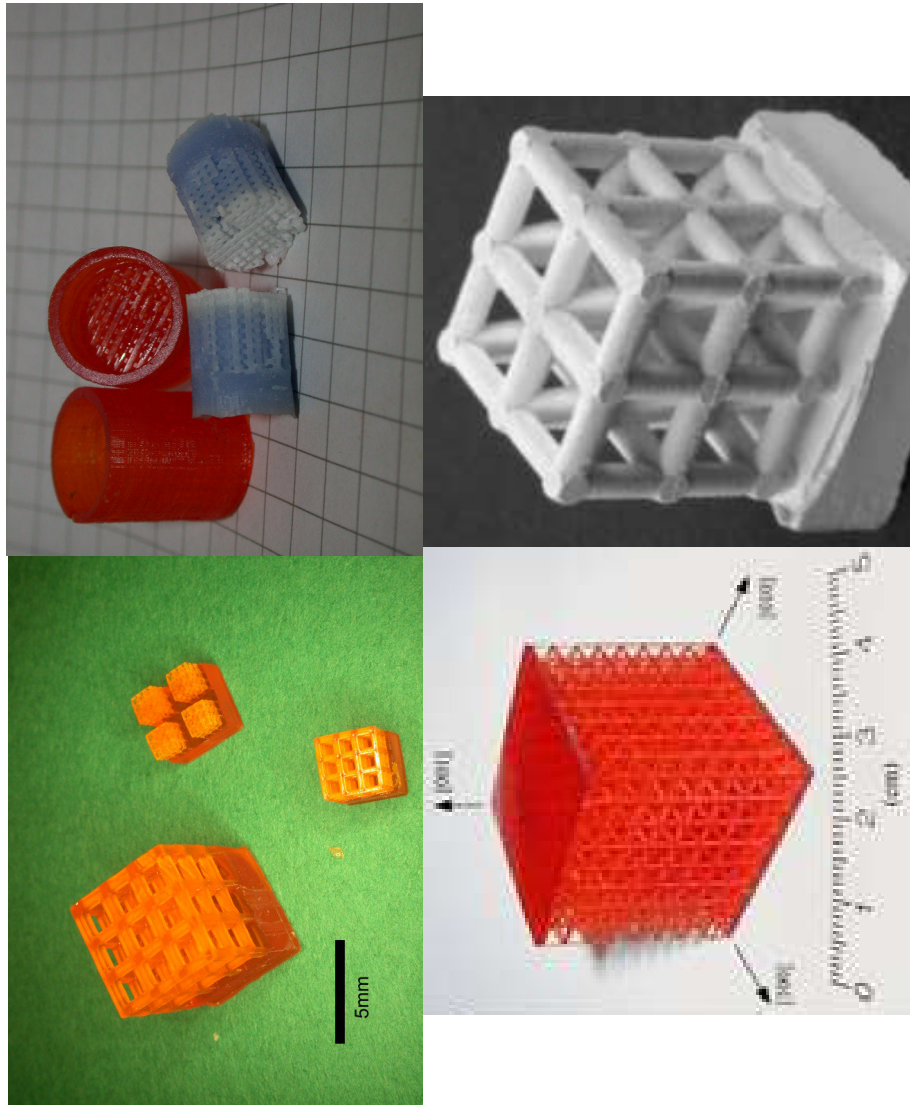
Wyrowadzono analityczne formuły dla sprężystych modułów Kelvina oraz granicznych energii sprężystych z wykorzystaniem programu do symbolicznych obliczeń Mathcad.

MATERIAŁY KOMÓRKOWE RODZAJE, ZASTOSOWANIE I MODELOWANIE

OGÓLNA CHARAKTERYSTYKA

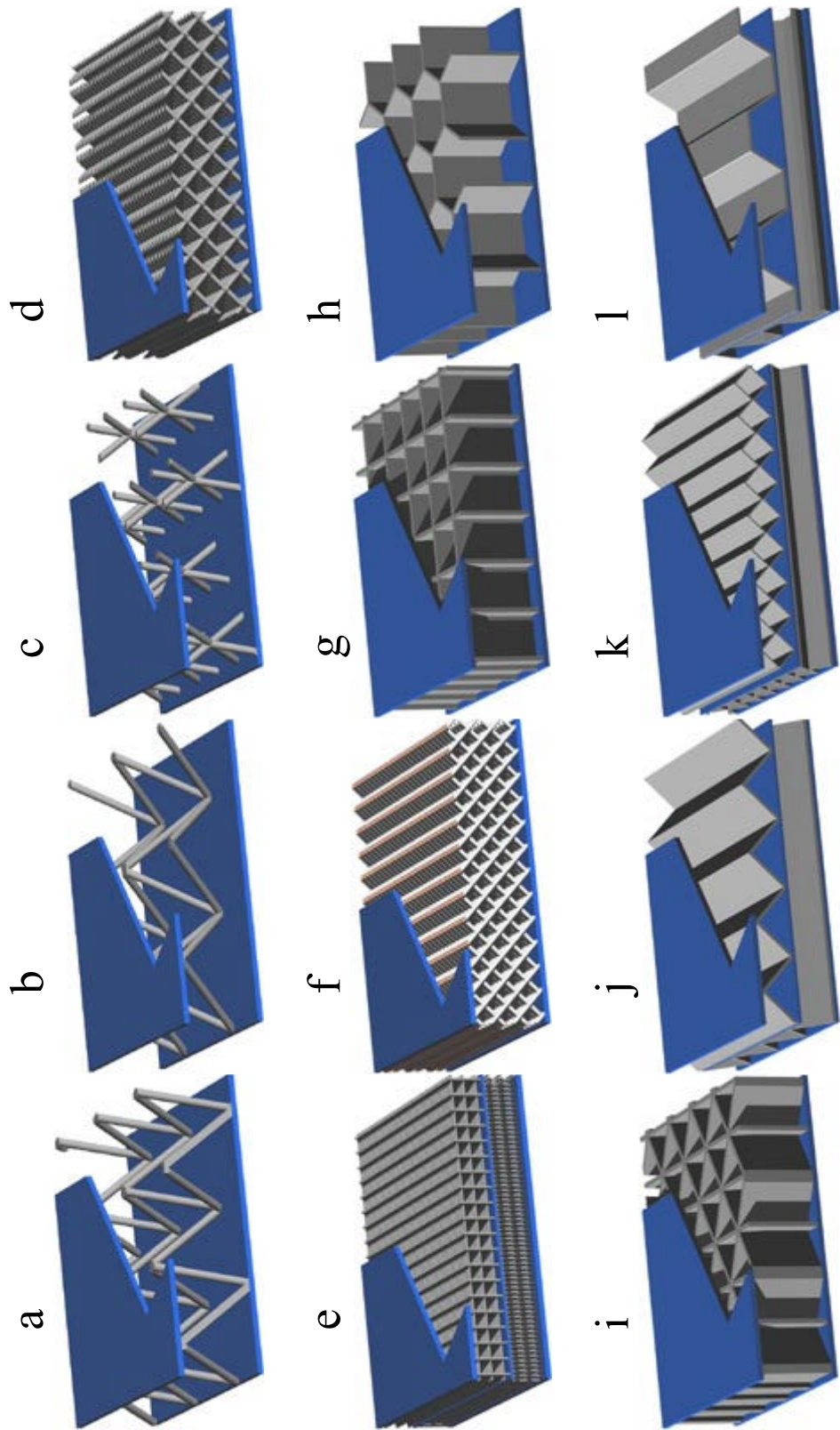


- a) pianka aluminiowa – komórka otwarta,
- b) pianka aluminiowa – komórka zamknięta
- c) struktura drewna



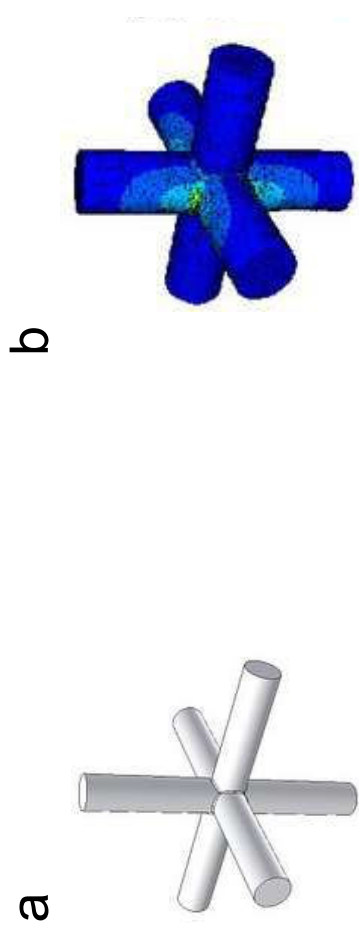
Struktury komórkowe polimerowe lub ceramiczne

ZASTOSOWANIE MATERIAŁÓW KOMÓRKOWYCH

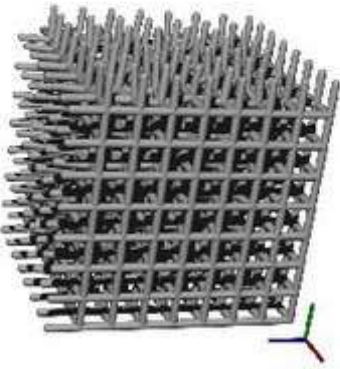
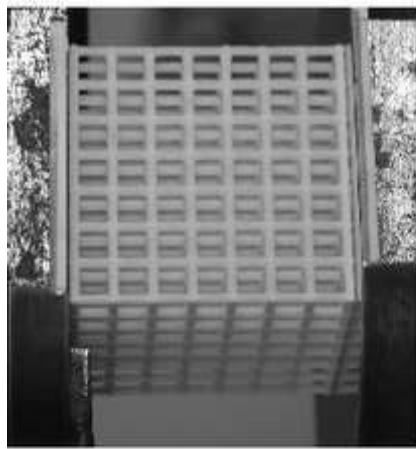


Wypełnienie płyt strukturami komórkowymi

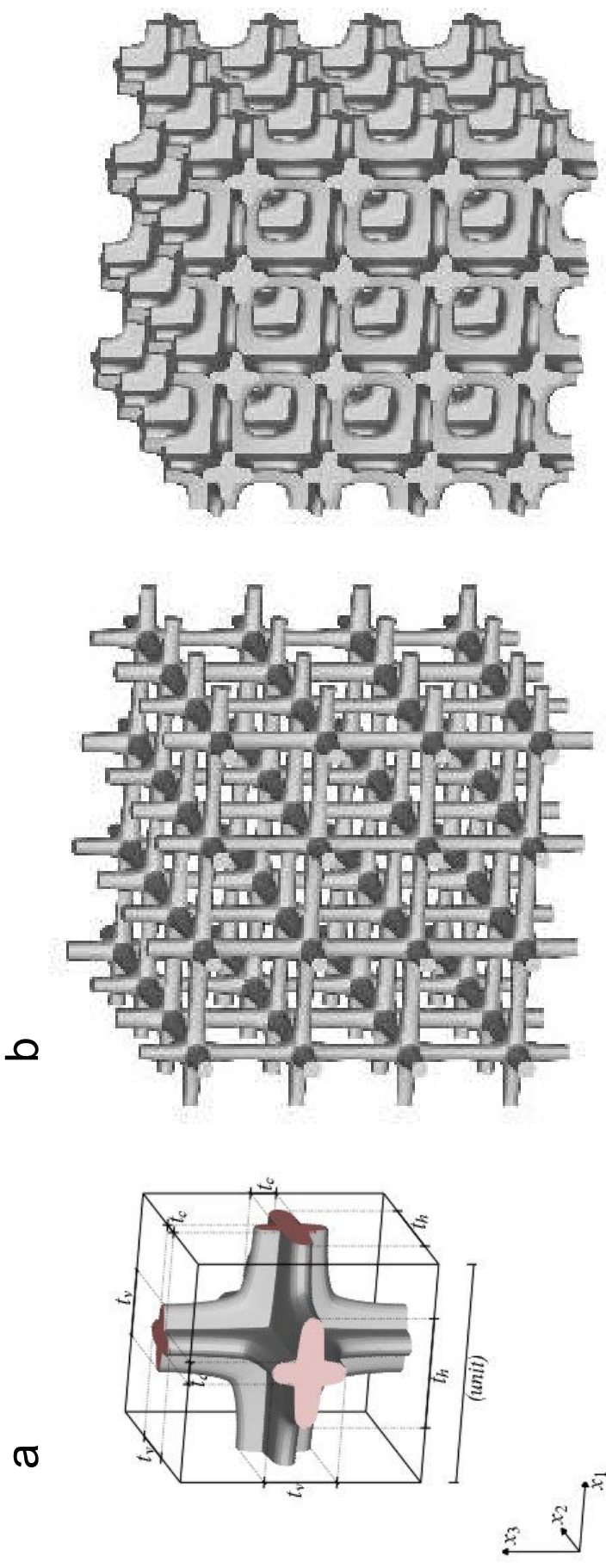
MODELOWANIE MATERIAŁÓW KOMÓRKOWYCH



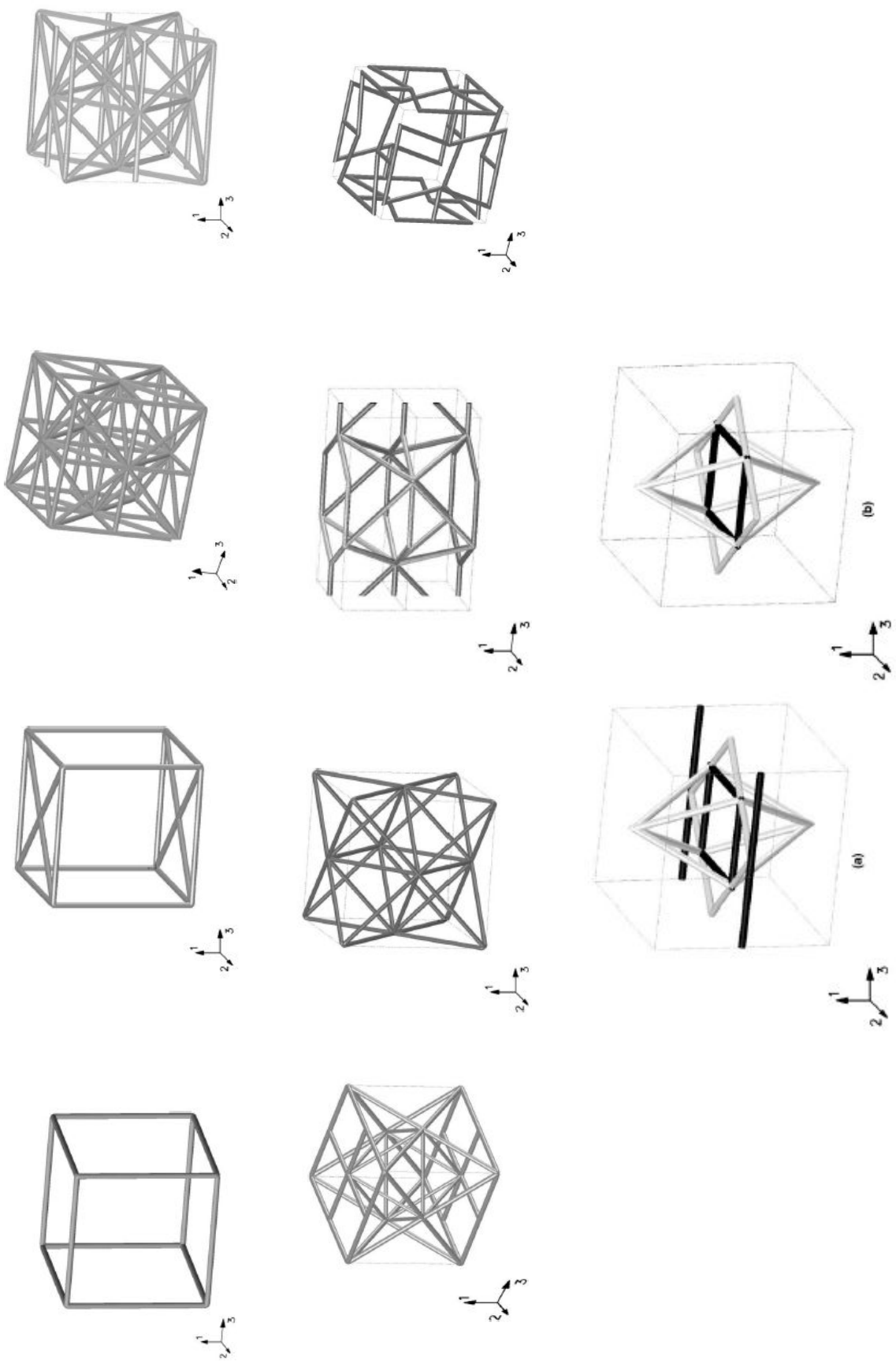
Reprezentatywny element struktury komórkowej: a) model teoretyczny ze sztucznyim węzłem, b) zastosowanie metody elementów skończonych do analizy węzła



Badania doświadczalne



a) reprezentatywna komórka sześcienna
b) model struktury kością gąbczastą przyjęty do obliczeń numerycznych
(P. Kowalczyk [2003])



Przykłady struktur komórkowych analizowanych numerycznie
w pracy J. Aboudi, R. Gilat [2005]

- 12 -

PODSTAWY TEORII SPREŻYSTYCZNYCH STANÓW WŁASNYCH I STANÓW GRANICZNYCH MATERIAŁÓW ANIZOTROPOWYCH

LINIOWA SPREŻYSTOŚĆ MATERIAŁÓW ANIZOTROPOWYCH

$$\boldsymbol{\sigma} = \mathbf{S} \cdot \boldsymbol{\varepsilon}, \quad \boldsymbol{\varepsilon} = \mathbf{C} \cdot \boldsymbol{\sigma}, \quad \mathbf{S}, \mathbf{C} - \text{tensory Hooke'a}$$

zagadnienie własne

$$\mathbf{S} \cdot \boldsymbol{\omega}_i = \lambda_i \boldsymbol{\omega}_i, \quad \mathbf{C} \cdot \boldsymbol{\omega}_i = \frac{1}{\lambda_i} \boldsymbol{\omega}_i$$

rozkład spektralny (J. Rychlewski [1984])

$$\mathbf{S} = \mathbf{S} \cdot \boldsymbol{\omega}_i \otimes \boldsymbol{\omega}_i = \lambda_I \boldsymbol{\omega}_I \otimes \boldsymbol{\omega}_I + \dots + \lambda_{VI} \boldsymbol{\omega}_{VI} \otimes \boldsymbol{\omega}_{VI}$$

Dla dowolnego spreżystego ciała z tensorami Hooke'a \mathbf{S}, \mathbf{C} istnieje dokładnie jeden ortogonalny rozkład przestrzeni tensorów symetrycznych drugiego rzędu na podprzestrzenie \mathcal{P}_k : $\mathbf{T}_2^S = \mathcal{P}_1 \oplus \mathcal{P}_2 \oplus \dots \oplus \mathcal{P}_\rho$, $\rho \leq 6$ i ciąg modułów Kelvinina $\lambda_1 < \lambda_2 < \dots < \lambda_\rho$ taki, że

$$\mathbf{S} = \lambda_1 \mathbf{P}_1 + \dots + \lambda_\rho \mathbf{P}_\rho$$

gdzie tensor \mathbf{P}_k jest projektorem ortogonalnym na podprzestrzeń \mathcal{P}_k .

Dla tensora podatności rozkład spektralny ma postać

$$\begin{aligned}\mathbf{C} = \mathbf{C} \cdot \boldsymbol{\omega}_i \otimes \boldsymbol{\omega}_i &= \frac{1}{\lambda_I} \boldsymbol{\omega}_I \otimes \boldsymbol{\omega}_I + \dots + \frac{1}{\lambda_{VI}} \boldsymbol{\omega}_{VI} \otimes \boldsymbol{\omega}_{VI} \\ \mathbf{C} &= \frac{1}{\lambda_1} \mathbf{P}_1 + \dots + \frac{1}{\lambda_\rho} \mathbf{P}_\rho\end{aligned}$$

Z rozkładu spektralnego tensorów Hooke'a \mathbf{S}, \mathbf{C} wynika wyrażenie na energię sprezystą

$$2\Phi(\sigma_i) = \boldsymbol{\sigma}_i \cdot \mathbf{C} \cdot \boldsymbol{\sigma}_i = C_{klmn} \sigma_{kl}^{(i)} \sigma_{mn}^{(i)} = \frac{1}{\lambda^{(i)}} (\sigma^{(i)})^2, \quad i=1, \dots, p \quad p \leq 6$$

gdzie: $(\sigma^{(i)})^2$ - kwadrat rzutu tensora naprężenia na i -ty wektor własny tensora \mathbf{S}, \mathbf{C}
 $\lambda^{(i)}$ - i -ta wartość własna tensora \mathbf{S}, \mathbf{C}

Główny rozkład energii sprężystej odpowiadający rozkładowi przestrzeni \mathcal{T}_2^S na podprzestrzenie własne \mathcal{P}_k dla tensora \mathbf{C} przyjmuje postać (J. Rychlewski [1984])

$$\Phi(\boldsymbol{\sigma}) = \phi(\boldsymbol{\sigma}_1 + \dots + \boldsymbol{\sigma}_\rho) = \phi(\boldsymbol{\sigma}_1) + \phi(\boldsymbol{\sigma}_2) + \dots + \phi(\boldsymbol{\sigma}_\rho) = \frac{\sigma_1^2}{2\lambda_1} + \frac{\sigma_2^2}{2\lambda_2} + \dots + \frac{\sigma_\rho^2}{2\lambda_\rho}$$

Obszar stosowności prawa Hooke'a określa kwadratowy warunek graniczny typu R. von Mises'a [1928]

$$\boldsymbol{\sigma} \cdot \mathbf{H} \cdot \boldsymbol{\sigma} \leq 1$$

Warunek graniczny typu Mises'a przyjmuje postać

$$\boldsymbol{\sigma} \cdot \mathbf{H} \cdot \boldsymbol{\sigma} = \frac{1}{h_1} \phi(\boldsymbol{\sigma}_1) + \frac{1}{h_2} \phi(\boldsymbol{\sigma}_2) + \dots + \frac{1}{h_\rho} \phi(\boldsymbol{\sigma}_\rho) = \frac{\sigma_1^2}{k_1^2} + \frac{\sigma_2^2}{k_2^2} + \dots + \frac{\sigma_\rho^2}{k_\rho^2} \leq 1$$

gdzie: $h_\alpha = \frac{k_\alpha^2}{2\lambda_\alpha}$ jest graniczną wartością energii sprężystej dla naprężenia $\boldsymbol{\sigma}_\alpha$ - $\frac{\Phi(\boldsymbol{\sigma}_\alpha)}{h_\alpha} = \frac{1}{h_\alpha} \frac{\sigma_\alpha^2}{2\lambda_\alpha} = \frac{\sigma_\alpha^2}{k_\alpha^2}$,

przestrzeń \mathcal{P}_α jest przestrzenią stanów bezpiecznych jeśli $k_\alpha \rightarrow \infty$, warunek graniczny wiąże zatem w pewien sposób własności sprężyste ciał z jego własnościami w stanie granicznym

KRYTERIA ENERGETYCZNE DLA MATERIAŁÓW KOMÓRKOWYCH

energetyczne kryterium wyteżenia sformułowane przez J. Rychlewskiego [1984] (kryterium dla sprzążonych stanów własnych) gdy tensorzy \mathbf{C} , \mathbf{S} i \mathbf{H} są współosiowe

$$\frac{\Phi(\boldsymbol{\sigma}_1)}{\Phi_1^{gr}} + \dots + \frac{\Phi(\boldsymbol{\sigma}_p)}{\Phi_p^{gr}} \leq 1, \quad p \leq 6$$

$\boldsymbol{\sigma} = \boldsymbol{\sigma}_1 + \boldsymbol{\sigma}_2 + \dots + \boldsymbol{\sigma}_p$ - rozkład tensora naprężenia na p stanów własnych
 Φ_p^{gr} - graniczna wartość gęstości energii sprężystej w stanie własnym p ,
która należy obliczyć

kryterium dla roztacznich stanów własnych (S. C. Cowin et al., 1995)

$$\begin{aligned}\Phi(\boldsymbol{\sigma}_1) &\leq \Phi_1^{gr} \\ &\vdots \\ \Phi(\boldsymbol{\sigma}_p) &\leq \Phi_p^{gr} \quad p \leq 6\end{aligned}$$

SPRĘŻYSTE STANY WŁASNE I GĘSTOŚCI ENERGII GRANICZNYCH

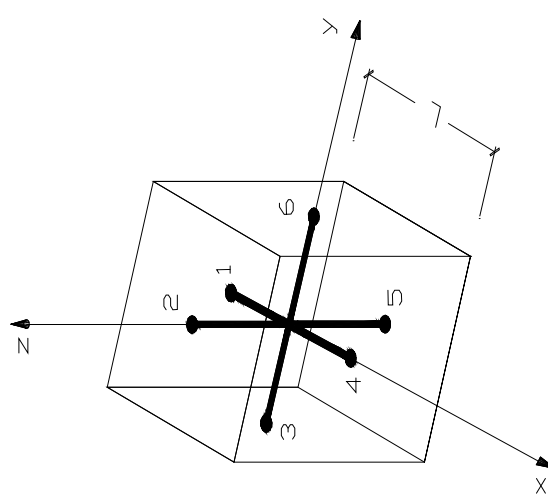
Komórka sześcienna – symetria kubiczna

OZNACZENIA

L - wymiar elementów belkowych (szkieletu)

S_n - sztywność elementów belkowych na rozciąganie

S_τ - sztywność elementów belkowych na zginanie



MODUŁ Y KELVINA MACIERZY \mathbf{S}

$$\lambda_I = \lambda_1 = \frac{S_n}{2L}$$

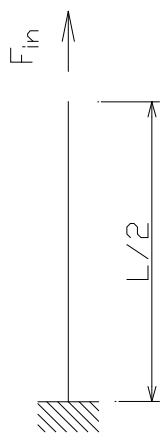
$$\lambda_{II} = \lambda_2 = \lambda_3 = \frac{S_n}{2L}$$

$$\lambda_{III} = \lambda_4 = \lambda_5 = \lambda_6 = \frac{2S_\tau}{4L}$$

GRANICZNE SIŁY SPREŻYSTE DLA ELEMENTÓW BELKOWYCH

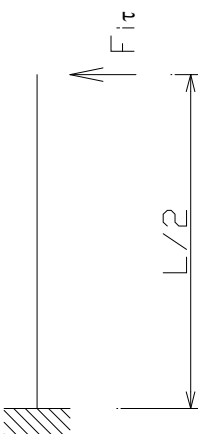
ściskanie (rozciąganie):

$$F^{gr} = A R_e$$



ścinanie (zginanie):

$$F^{gr} = \frac{R_e I}{L h}$$



DEFINICJA NAPRĘŻENIA
dla ekwiwalentnego kontinuum
(S. Nemat-Nasser, M. Hori [1999])

$$\boldsymbol{\sigma} = \frac{1}{V} \int_{V^S} \boldsymbol{\sigma}^S dV$$

gdzie:

V – objętość reprezentatywnej komórki
 V^S – objętość szkieletu

- 18 -

OBLICZONE GĘSTOŚCI ENERGII GRANICZNYCH DLA STANÓW WŁASNYCH

$$\boldsymbol{\sigma}_I = \boldsymbol{\sigma}_1 = \begin{bmatrix} -\frac{A R_e}{L^2} & 0 & 0 \\ 0 & -\frac{A R_e}{L^2} & 0 \\ 0 & 0 & \frac{-A R_e}{L^2} \end{bmatrix}$$

$$\boldsymbol{\sigma}_{II} = \boldsymbol{\sigma}_{2,3} = \begin{bmatrix} \frac{2}{3} \frac{A R_e}{L^2} & 0 & 0 \\ 0 & \frac{-1}{3} \frac{A R_e}{L^2} & 0 \\ 0 & 0 & \frac{-1}{3} \frac{A R_e}{L^2} \end{bmatrix}$$

$$\boldsymbol{\sigma}_{III} = \boldsymbol{\sigma}_{4,5,6} = \begin{bmatrix} \frac{\sqrt{2}}{h L^3} I R_e & \frac{\sqrt{2}}{h L^3} I R_e & 0 \\ 0 & \frac{\sqrt{2}}{h L^3} I R_e & \frac{\sqrt{2}}{h L^3} I R_e \\ \frac{\sqrt{2}}{h L^3} I R_e & 0 & \frac{\sqrt{2}}{h L^3} I R_e \end{bmatrix}$$

$$2 \Phi_I^{gr} = 3 \frac{1}{\lambda_I} \left(\frac{A R_e}{L^2} \right)^2$$

$$2 \Phi_{II}^{gr} = \frac{2}{3} \frac{1}{\lambda_{II}} \left(\frac{A R_e}{L^2} \right)^2$$

$$2 \Phi_{III}^{gr} = 6 \frac{1}{\lambda_{III}} \frac{I^2 R_e^2}{h^2 L^6}$$

R_e - granica plastyczności, h - maksymalna odległość wólkien górnego lub dolnego
 element belkowego, A - pole przekroju elementu belkowego, I - moment bezwładności elementu belkowego

Komórka prostopadłoscienna - ortotropia

OZNACZENIA

L_{I-2} , L_{3-4} , H - wymiary elementów belkowych (szkieletu)

S_{nI-2} , S_{n3-4} , S_{n5-6} - sztywności elementów belkowych na rozciąganie

$S_{\tau I-2}$, $S_{\tau 3-4}$, $S_{\tau 5-6}$ - sztywności elementów belkowych na zginanie

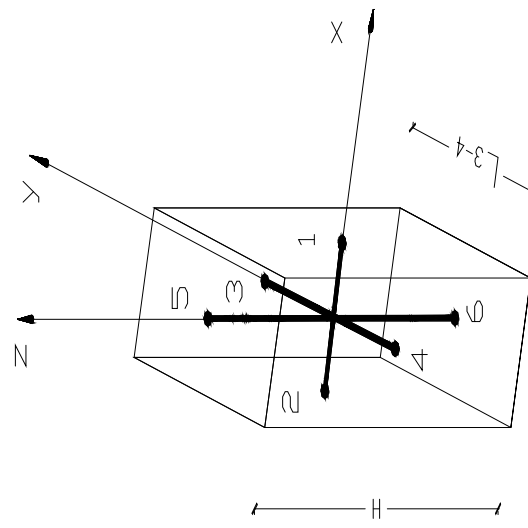
MODUŁ Y KELVINA

$$\lambda_I = \frac{L_{I-2} S_{nI-2}}{2 L_{3-4} H} \quad \lambda_{II} = \lambda_2 = \frac{L_{3-4} S_{n3-4}}{2 L_{I-2} H} \quad \lambda_{III} = \lambda_3 = \frac{H S_{n5-6}}{2 L_{I-2} L_{3-4}}$$

$$\lambda_{IV} = \lambda_4 = \frac{2 H^2 S_{\tau 5-6}}{L_{3-4}^2 S_{\tau 3-4} + H^2 S_{\tau 5-6}} \quad \frac{L_{3-4}}{2} S_{\tau 3-4}$$

$$L_{I-2} \leq L_{3-4} \leq H$$

$$\lambda_V = \lambda_5 = \frac{\frac{2 H^2 S_{\tau 5-6}}{L_{I-2}^2 S_{\tau I-2} + H^2 S_{\tau 5-6}} \frac{L_{I-2}}{2} S_{\tau I-2}}{\frac{L_{3-4}^2 S_{\tau 3-4} + L_{I-2}^2 S_{\tau I-2}}{L_{3-4} H}} \quad \lambda_{VI} = \lambda_6 = \frac{\frac{L_{I-2}}{2} S_{\tau I-2}}{\frac{L_{3-4} H}{L_{3-4}}} \quad \frac{L_{I-2}}{2} S_{\tau I-2}$$



OBLICZONE GEŁSTOŚCI ENERGII GRANICZNYCH DLA STANÓW WŁASNYCH

$$\boldsymbol{\sigma}_I = \boldsymbol{\sigma}_1 = \begin{bmatrix} \frac{A R_e}{L_{3-4} H} & 0 & 0 \\ 0 & 0 & 0 \\ 0 & 0 & 0 \end{bmatrix}$$

$$2 \Phi_I^{gr} = \frac{1}{\lambda_I} \left(\frac{A R_e}{L_{3-4} H} \right)^2$$

$$\boldsymbol{\sigma}_{II} = \boldsymbol{\sigma}_2 = \begin{bmatrix} 0 & 0 & 0 \\ 0 & \frac{A R_e}{L_{1-2} H} & 0 \\ 0 & 0 & 0 \end{bmatrix}$$

$$2 \Phi_{II}^{gr} = \frac{1}{\lambda_{II}} \left(\frac{A R_e}{L_{1-2} H} \right)^2$$

$$\boldsymbol{\sigma}_{III} = \boldsymbol{\sigma}_3 = \begin{bmatrix} 0 & 0 & 0 \\ 0 & 0 & 0 \\ 0 & 0 & \frac{A R_e}{L_{1-2} L_{3-4}} \end{bmatrix}$$

$$2 \Phi_{III}^{gr} = \frac{1}{\lambda_{III}} \left(\frac{A R_e}{L_{1-2} L_{3-4}} \right)^2$$

$$\boldsymbol{\sigma}_V = \boldsymbol{\sigma}_5 = \begin{bmatrix} 0 & 0 & 0 \\ 0 & \sqrt{2} \frac{I}{2} R_e \frac{2}{H} & \sqrt{2} \frac{I}{2} R_e \frac{2}{H} \\ 0 & \sqrt{2} \frac{I}{2} R_e \frac{2}{H} & 0 \end{bmatrix}$$

$$2 \Phi_{IV}^{gr} = 8 \frac{1}{\lambda_{IV}} \frac{I^2 R_e^2}{h^2 L_{1-2}^2 L_{3-4}^2 H^2}$$

$$2 \Phi_V^{gr} = 8 \frac{1}{\lambda_V} \frac{I^2 R_e^2}{h^2 L_{1-2}^2 L_{3-4}^2 H^2}$$

$$\boldsymbol{\sigma}_V = \boldsymbol{\sigma}_6 = \begin{bmatrix} 0 & \sqrt{2} \frac{I}{2} \frac{R_e}{L_{3^{-4}}} \frac{2}{L_{1^{-2}} H} & 0 \\ \sqrt{2} \frac{I}{2} \frac{R_e}{L_{3^{-4}}} \frac{2}{L_{1^{-2}} H} & 0 & 0 \\ 0 & 0 & 0 \end{bmatrix}$$

$$2\Phi_{VI}^{gr}=8\frac{1}{\lambda_{VI}}\frac{I^2R_e^2}{h^2{L_{1^{-2}}}^2{L_{3^{-4}}}^2H^2}$$

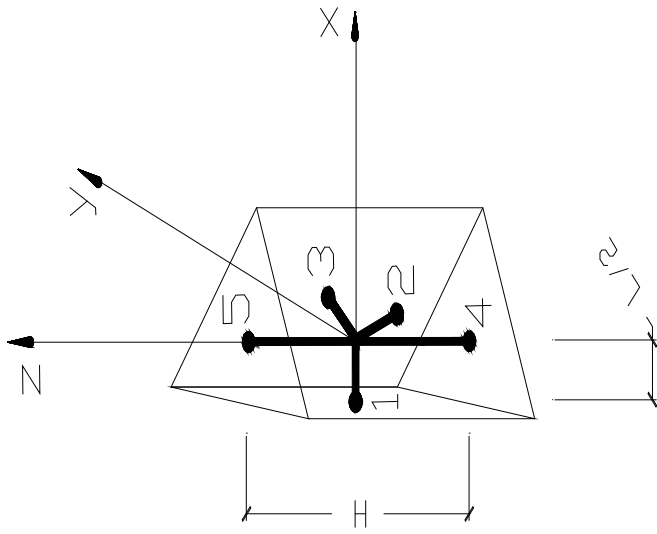
Komórka w postaci pryzmy o podstawie trójkąta równobocznego – symetria transwersalnie izotropowa

OZNACZENIA

L, H - wymiary elementów belkowych (szkieletu)

S_{nL}, S_{nH} - sztywności elementów belkowych na rozciąganie

$S_{\tau L}, S_{\tau H}$ - sztywności elementów belkowych na zginanie



MODUŁ Y KELVINA

$$\lambda_I = \lambda_I = \frac{\sqrt{3} S_{nL}}{6 H}$$

$$\lambda_H = \lambda_3 = \frac{2 \sqrt{3} H S_{nH}}{9 L^2}$$

$$\lambda_{III} = \lambda_2 = \lambda_6 = \frac{\sqrt{3} S_{nL} S_{\tau L}}{3 H (S_{nL} + S_{\tau L})}$$

$$\lambda_{IV} = \lambda_4 = \lambda_5 = \frac{4 \sqrt{3} H S_{\tau H} S_{\tau L}}{3 (3 L^2 S_{\tau L} + 4 H^2 S_{\tau H})}$$

$$L \leq H$$

OBLICZONE GEŁSTOŚCI ENERGII GRANICZNYCH DLA STANÓW WŁASNYCH

$$\boldsymbol{\sigma}_I = \boldsymbol{\sigma}_1 = \begin{bmatrix} \frac{-\sqrt{3} A R_e}{3 L H} & 0 & 0 \\ 0 & \frac{-\sqrt{3} A R_e}{3 L H} & 0 \\ 0 & 0 & 0 \end{bmatrix}$$

$$2 \Phi_I^{gr} = \frac{2}{3} \frac{1}{\lambda_I} \frac{A^2 R_e^2}{L^2 H^2}$$

$$\boldsymbol{\sigma}_{II} = \boldsymbol{\sigma}_2 = \begin{bmatrix} 0 & 0 & 0 \\ 0 & 0 & 0 \\ 0 & 0 & \frac{-4 \sqrt{3} A R_e}{9 L^2} \end{bmatrix}$$

$$2 \Phi_{II}^{gr} = \frac{16}{27} \frac{1}{\lambda_{II}} \frac{A^2 R_e^2}{L^4}$$

$$\boldsymbol{\sigma}_{III} = \boldsymbol{\sigma}_{3,4} = \begin{bmatrix} \frac{I\,A\,R_e\,(4\,\sqrt{3}\,-1)}{L\,H\,(4\,I+L\,h\,A)} & \frac{2\,\sqrt{3}\,I\,A\,R_e}{3\,L\,H\,(4\,I+L\,h\,A)} & 0 \\[1ex] \frac{2\,\sqrt{3}\,I\,A\,R_e}{3\,L\,H\,(4\,I+L\,h\,A)} & \frac{-I\,A\,R_e\,(4\,\sqrt{3}\,-1)}{L\,H\,(4\,I+L\,h\,A)} & 0 \\[1ex] 0 & 0 & 0 \end{bmatrix}$$

$$2\,\Phi_{III}^{gr} = \frac{2}{9}\frac{1}{\lambda_{III}}\frac{I^2\,A^2\,R_e^2\,(61-8\,\sqrt{3})}{H^2\,L^2\,(4\,I+L\,h\,A)^2}$$

$$\boldsymbol{\sigma}_{IV} = \boldsymbol{\sigma}_{5,6} = \begin{bmatrix} 0 & 0 & \frac{4\,\sqrt{3}\,I\,R_e}{9\,L^2\,h\,H} \\[1ex] 0 & 0 & \frac{4\,\sqrt{3}\,I\,R_e}{9\,L^2\,h\,H} \\[1ex] \frac{4\,\sqrt{3}\,I\,R_e}{9\,L^2\,h\,H} & \frac{4\,\sqrt{3}\,I\,R_e}{9\,L^2\,h\,H} & 0 \end{bmatrix}$$

$$2\,\Phi_{IV}^{gr} = \frac{64}{27}\frac{1}{\lambda_{IV}}\frac{I^2\,R_e^2}{H^2\,L^4\,h^2}$$

Komórka w postaci pryzmy o podstawie sześciokąta foremnego – symetria transwersalnie izotropowa

OZNACZENIA

L, H - wymiary elementów belkowych (szkieletu)

S_{nL}, S_{nH} - sztywności elementów belkowych na rozciąganie

$S_{\tau L}, S_{\tau H}$ - sztywności elementów belkowych na zginanie

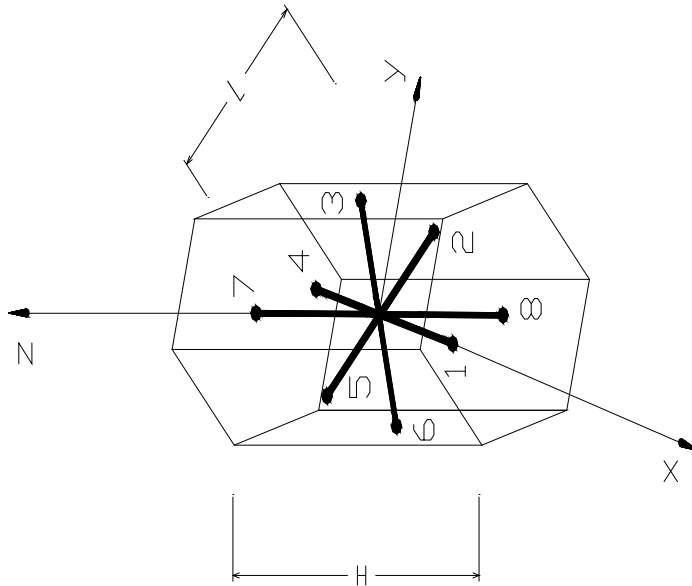
MODUŁ Y KELVINA

$$\lambda_I = \lambda_1 = \frac{\sqrt{3} S_{nL}}{2 H}$$

$$\lambda_H = \lambda_3 = \frac{\sqrt{3} H S_{nH}}{3 L^2}$$

$$\lambda_{III} = \lambda_2 = \lambda_6 = \frac{\sqrt{3} (S_{nL} + 2 S_{\tau L})}{4 H}$$

$$\lambda_{IV} = \lambda_4 = \lambda_5 = \frac{2 \sqrt{3} H S_{\tau H} S_{\tau L}}{3 L^2 S_{\tau L} + 2 H^2 S_{\tau H}}$$



OBLICZONE GĘSTOŚCI ENERGII GRANICZNYCH DLA STANÓW WŁASNYCH

$$\boldsymbol{\sigma}_I = \boldsymbol{\sigma}_1 = \begin{bmatrix} \frac{-\sqrt{3} A R_e}{L H} & 0 & 0 \\ 0 & \frac{-\sqrt{3} A R_e}{L H} & 0 \\ 0 & 0 & 0 \end{bmatrix}$$

$$2 \Phi_I^{gr} = 6 \frac{1}{\lambda_I} \frac{A^2 R_e^2}{L^2 H^2}$$

$$\boldsymbol{\sigma}_{II} = \boldsymbol{\sigma}_2 = \begin{bmatrix} 0 & 0 & 0 \\ 0 & 0 & 0 \\ 0 & 0 & \frac{-2 \sqrt{3} A R_e}{3 L H} \end{bmatrix}$$

$$2 \Phi_{II}^{gr} = \frac{4}{3} \frac{1}{\lambda_{II}} \frac{A^2 R_e^2}{H^2 L^2}$$

$$\boldsymbol{\sigma}_{III} = \boldsymbol{\sigma}_{3,4} = \begin{bmatrix} \frac{2 I A R_e \sqrt{3} (S_{nL} + 2 S_{\tau L})}{L H (4 I S_{nL} + L S_{\tau L} h A)} & \frac{I A R_e \sqrt{3} (S_{nL} + 2 S_{\tau L})}{L H (4 I S_{nL} + L S_{\tau L} h A)} \\[1ex] \frac{I A R_e \sqrt{3} (S_{nL} + 2 S_{\tau L})}{L H (4 I S_{nL} + L S_{\tau L} h A)} & \frac{-2 I A R_e \sqrt{3} (S_{nL} + 2 S_{\tau L})}{L H (4 I S_{nL} + L S_{\tau L} h A)} \\[1ex] 0 & 0 \end{bmatrix}$$

$$2 \Phi_{III}^{gr} = 30 \frac{1}{\lambda_{III}} \frac{(S_{nL} + 2 S_{\tau L})^2 R_e^2 A^2 I^2}{H^2 L^2 (4 S_{nL} I + L S_{\tau L} h A)^2}$$

$$\boldsymbol{\sigma}_{IV} = \boldsymbol{\sigma}_{5,6} = \begin{bmatrix} 0 & 0 & \frac{2 \sqrt{3} I R_e}{3 L^2 h H} \\[1ex] 0 & 0 & \frac{2 \sqrt{3} I R_e}{3 L^2 h H} \\[1ex] \frac{2 \sqrt{3} I R_e}{3 L^2 h H} & \frac{2 \sqrt{3} I R_e}{3 L^2 h H} & 0 \end{bmatrix}$$

$$2 \Phi_{IV}^{gr} = \frac{16}{3} \frac{1}{\lambda_{IV}} \frac{I^2 R_e^2}{H^2 L^4 h^2}$$

wg hipotezy wytężenia W. Burzyńskiego

$$\sigma_{red} = \frac{\kappa + 1}{2\kappa} \sqrt{\sigma_x^2 + \sigma_y^2 + \sigma_z^2 - \sigma_x \sigma_y - \sigma_x \sigma_z - \sigma_y \sigma_z + 3(\tau_{xy}^2 + \tau_{yz}^2 + \tau_{zx}^2)} +$$

$$+ \frac{\kappa - 1}{2} (\sigma_x + \sigma_y + \sigma_z)$$

$$R_e^c - \text{wytrzymałość na ściskanie}, \quad R_e^r - \text{wytrzymałość na rozciąganie}$$

$$\kappa = \frac{R_e^c}{R_e^r} = 1$$

- otrzymujemy wzór wynikły z hipotezy energii odkształcenia postaciowego

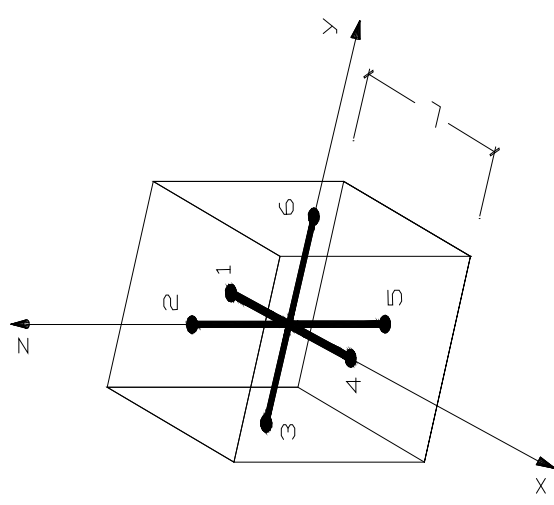
Komórka sześcienna – symetria kubiczna

OZNACZENIA

L - wymiar elementów belkowych (szkieletu)

S_n - sztywność elementów belkowych na rozciąganie

S_τ - sztywność elementów belkowych na zginanie



- 30 -

OBLCZONE GESTOŚCI ENERGII GRANICZNYCH DLA STANÓW WŁASNYCH

$$\boldsymbol{\sigma}_I = \boldsymbol{\sigma}_1 = \begin{bmatrix} \frac{2 A \kappa R_e^r}{(1+\kappa^2)L^2} & 0 & 0 \\ 0 & \frac{2 A \kappa R_e^r}{(1+\kappa^2)L^2} & 0 \\ 0 & 0 & \frac{2 A \kappa R_e^r}{(1+\kappa^2)L^2} \end{bmatrix}$$

$$\boldsymbol{\sigma}_{II} = \boldsymbol{\sigma}_{2,3} = \begin{bmatrix} \frac{4 A \kappa R_e^r}{3(1+\kappa^2)L^2} & 0 & 0 \\ 0 & \frac{-2 A \kappa R_e^r}{3(1+\kappa^2)L^2} & 0 \\ 0 & 0 & \frac{-2 A \kappa R_e^r}{3(1+\kappa^2)L^2} \end{bmatrix}$$

$$\boldsymbol{\sigma}_{III} = \boldsymbol{\sigma}_{4,5,6} = \begin{bmatrix} 0 & \frac{2 I \kappa R_e^r}{(1+\kappa^2)h L^3} & \frac{2 I \kappa R_e^r}{(1+\kappa^2)h L^3} \\ \frac{2 I \kappa R_e^r}{(1+\kappa^2)h L^3} & 0 & \frac{2 I \kappa R_e^r}{(1+\kappa^2)h L^3} \\ \frac{2 I \kappa R_e^r}{(1+\kappa^2)h L^3} & \frac{2 I \kappa R_e^r}{(1+\kappa^2)h L^3} & 0 \end{bmatrix}$$

$$\Phi_I^{gr} = \frac{6}{\lambda_I} (R_e^r)^2 \frac{\kappa^2}{(1+\kappa^2)^2} \frac{A^2}{L^4}$$

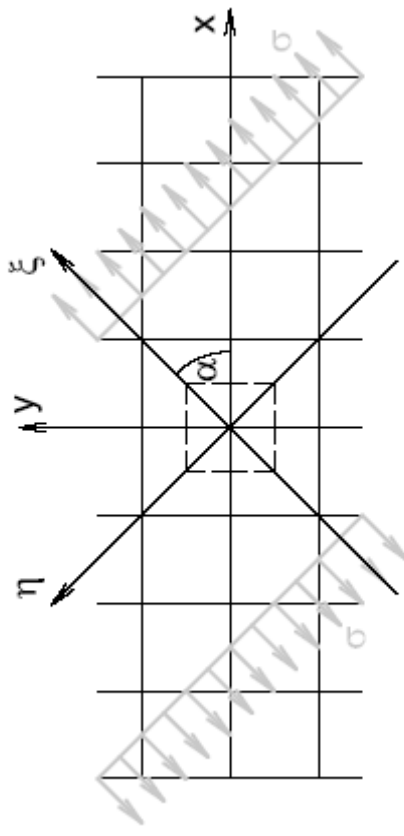
$$\Phi_{II}^{gr} = \frac{4}{3\lambda_{II}} (R_e^r)^2 \frac{\kappa^2}{(1+\kappa^2)^2} \frac{A^2}{L^4}$$

$$\Phi_{III}^{gr} = \frac{12}{\lambda_{III}} (R_e^r)^2 \frac{\kappa^2}{(1+\kappa^2)^2} \frac{I^2}{L^6 h^2}$$

$$R_e^r \leq R_e^c$$

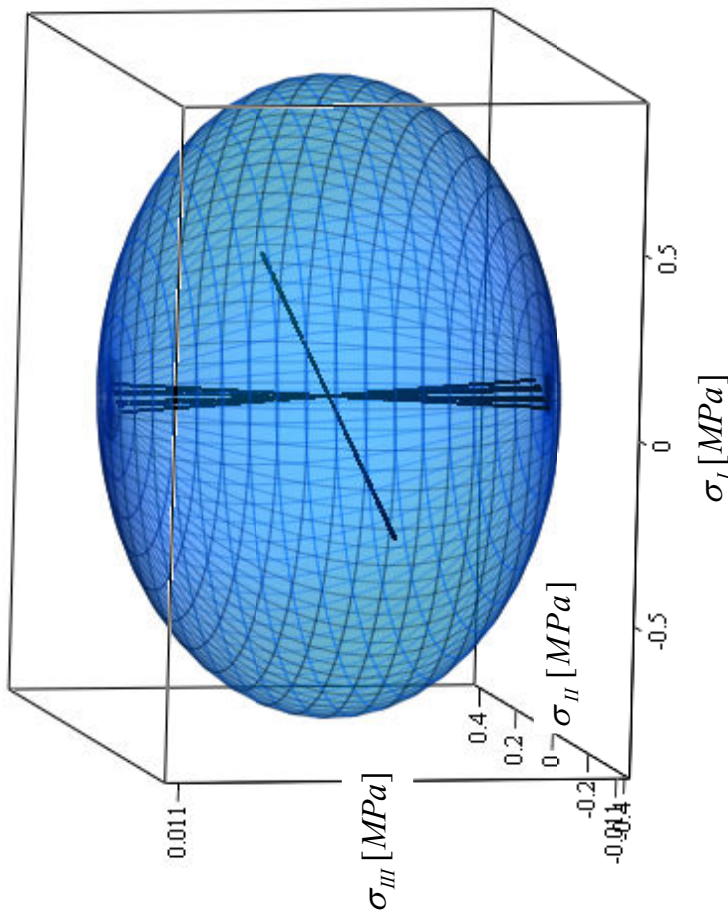
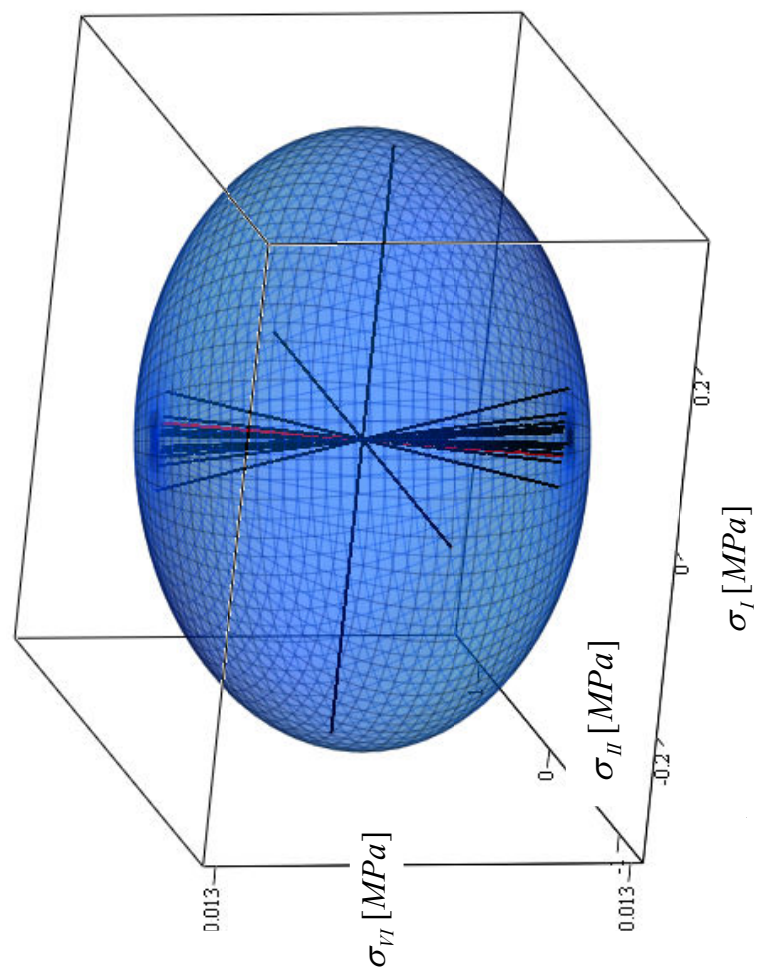
- 31 -

**PRZESTAWIENIE ENERGETYCZNEGO KRYTERIUM J. RYCHLEWSKIEGO
DLA SPRĘŻYSTYCH STANÓW WŁASNYCH PRZY JEDNOOSIOWYM
ROZCIĄGANIU WZDŁUŻ KIERUNKU „n”**



$$\boldsymbol{\sigma}(\xi, \eta) = \begin{bmatrix} \sigma & 0 \\ 0 & 0 \end{bmatrix} \rightarrow \boldsymbol{\sigma}(x, y) = \sigma \begin{bmatrix} \cos^2(\alpha) & \cos(\alpha)\sin(\alpha) \\ \cos(\alpha)\sin(\alpha) & \sin^2(\alpha) \end{bmatrix}$$

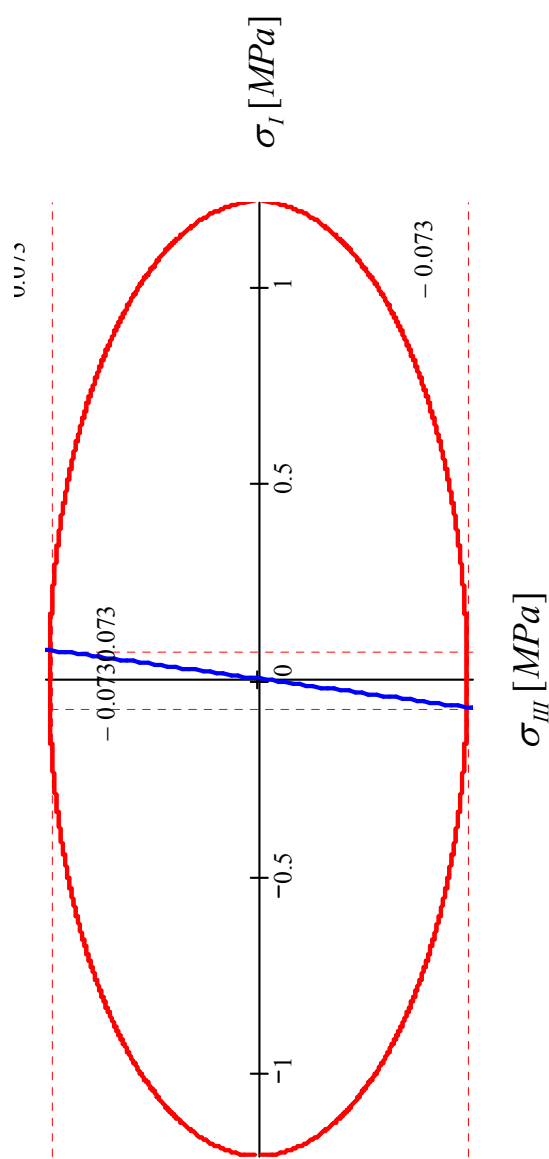
stop Cu-1%Ni, $E_s = 117 GPa$, $G_s = 45 GPa$, $R_e = 112 MPa$ (D. L. McDowell et al., [2005])



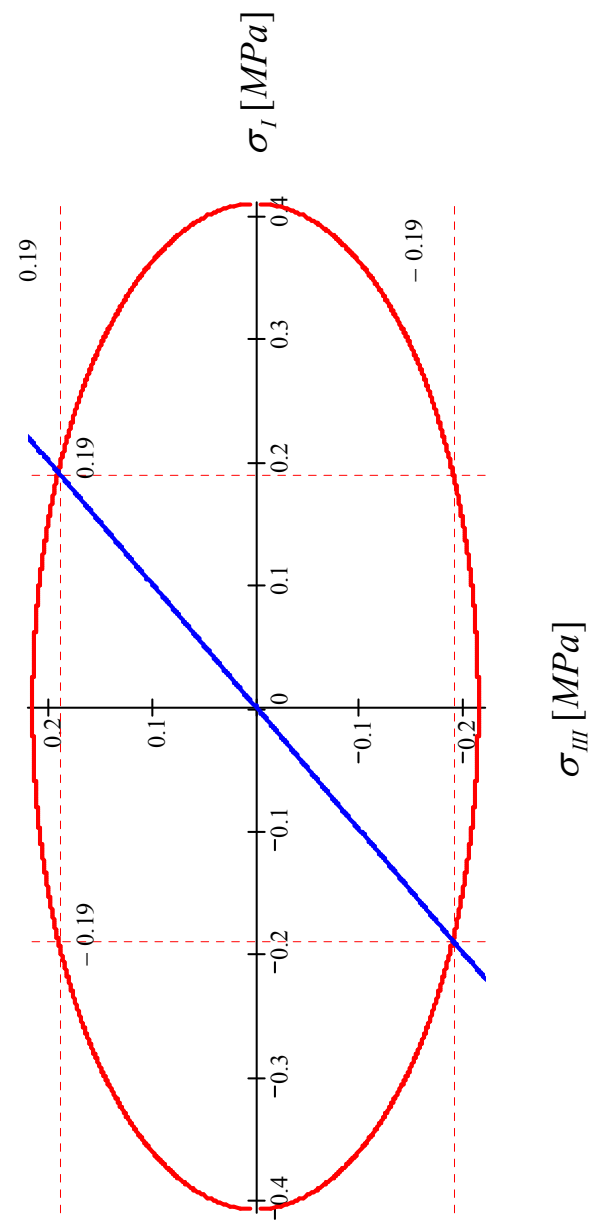
Komórka sześcienna
 $L = 2000 \mu m$, $d = 150 \mu m$

Komórka prostopadłościenna
 $L_{1-2} = 1000 \mu m$, $L_{3-4} = 4000 \mu m$, $H = 1000 \mu m$,
 $d = 120 \mu m$

Komórka w postaci
pryzmy o podstawie
trójkąta równobocznego



Komórka w postaci pryzmy
o podstawie sześciokąta
foremnego



Komórka szescienna

Wartość naprężenia granicznego w płaszczyźnie podstawy (x, y) przedstawia zależność:

$$\sigma^{gr} = \pm \frac{3 R_e \frac{I A}{L^2}}{\sqrt{10 I^2 + 27 I^2 \sin^4 \alpha + 3 \sin^2 \alpha h^2 L^2 A^2 - 3 \sin^4 \alpha h^2 L^2 A^2 - 27 I^2 \sin^2 \alpha}}$$

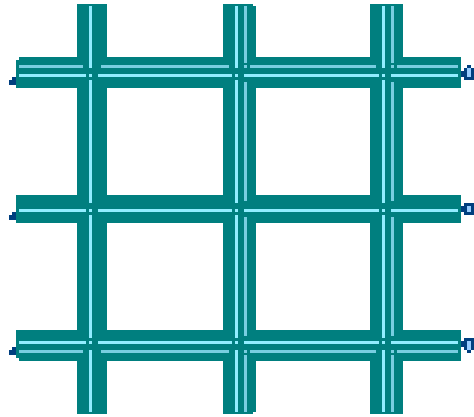
gdzie α jest dowolnym kierunkiem obciążenia.

Przyjmując σ^{gr} i $\alpha = \frac{\pi}{2}$ (rozciągnięcie wzduż osi y) dla dowolnego materiału (wzór jest uniwersalny) w żadnym przecie struktury nie jest przekroczona granica plastyczności R_e elementu belkowego, dla stali $E = 205 GPa$, $G = 80.8 GPa$,

$$R_e = 215 MPa, \quad \sigma^{z_{programu\ Robot}} = 201 MPa$$

błąd oceny naprężenia granicznego otrzymanego z energetycznego kryterium J. Rychlewskiego jest równy:

$$\frac{R_e - \sigma^{z_{programu\ Robot}}}{R_e} \cdot 100\% = 6.5\%$$



Komórka prostopadłościenna

Wartość naprężenia granicznego w płaszczyźnie podstawy (x, y) przedstawia zależność:

$$\sigma^{gr} = \pm [2(4L_{3-4}^2 I^2 - 8L_{3-4}^2 I^2 \sin^2 \alpha + 4L_{3-4}^2 I^2 \sin^4 \alpha + 4\sin^4 \alpha L_{1-2}^2 I^2 +$$

$$+ \sin^2 \alpha h^2 L_{1-2}^2 L_{3-4}^2 A^2 - \sin^4 \alpha h^2 L_{1-2}^2 L_{3-4}^2 A^2)^{1/2} R_e I \frac{A}{R_e}] / [-4L_{3-4}^2 I^2 +$$

$$-8L_{3-4}^2 I^2 \sin^2 \alpha - 4L_{3-4}^2 I^2 \sin^4 \alpha - 4\sin^4 \alpha L_{1-2}^2 I^2 - \sin^2 \alpha h^2 L_{1-2}^2 L_{3-4}^2 A^2 +$$

$$+ \sin^4 \alpha h^2 L_{1-2}^2 L_{3-4}^2 A^2]$$

gdzie α jest dowolnym kierunkiem obciążenia.

Przyjmując σ^{gr} i $\alpha = \frac{\pi}{2}$ (rozciągnięcie wzduż osi y) dla dowolnego materiału (wzór jest uniwersalny) W żadnym przecie struktury nie jest przekroczona granica plastyczności R_e elementu belkowego, dla stali $E = 205 GPa$, $G = 80.8 GPa$,

$$R_e = 215 MPa, \quad \sigma^{z programu Robot} = 210.83 MPa$$

błąd oceny naprężenia granicznego otrzymanego z energetycznego kryterium J. Rychlewskiego jest równy:

$$\frac{R_e - \sigma^{z programu Robot}}{R_e} \cdot 100\% = 1.9\%$$

Komórka w postaci pryzmy o podstawie trójkąta równobocznego

Wartość naprężenia granicznego w płaszczyźnie podstawy (x, y) przedstawia zależność:

$$\begin{aligned}\sigma^{gr} = & \pm [2((35067 I^2 - 72 L^2 h^2 A^2 \sqrt{3} + 981 L^2 h^2 A^2 + 576 L I h A \sqrt{3} + \\& 7848 L I h A)(6457 - 384\sqrt{3}))^{1/2} I A \frac{R_e}{L H}] / [35067 I^2 + 72 L^2 h^2 A^2 \sqrt{3} + \\& + 981 L^2 h^2 A^2 + 576 L I h A \sqrt{3} + 7848 L I h A]\end{aligned}$$

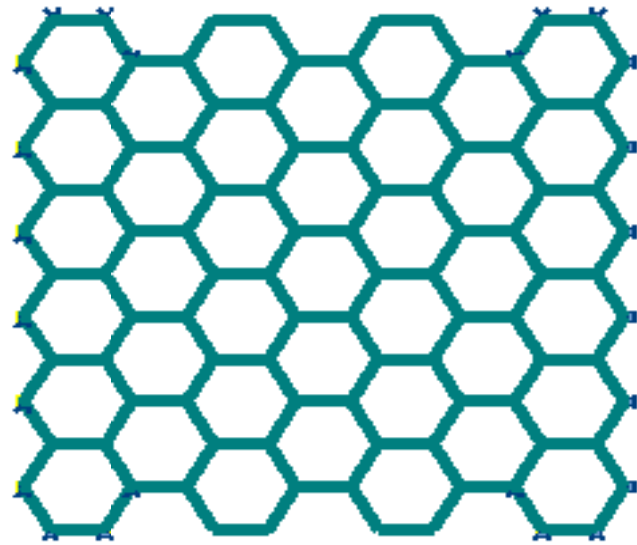
Przyjmując σ^{gr} (rozciąggnięcie wzduż osi x) dla dowolnego materiału (wzór jest uniwersalny) w żadnym przecie struktury nie jest przekroczona granica plastyczności R_e elementu belkowego,

dla stali $E = 205 GPa$, $G = 80.8 GPa$,

$$R_e = 215 MPa, \quad \sigma^{z \text{ programu Robot}} = 191.11 MPa$$

błąd oceny naprężenia granicznego otrzymanego z energetycznego kryterium J. Rychlewskiego jest

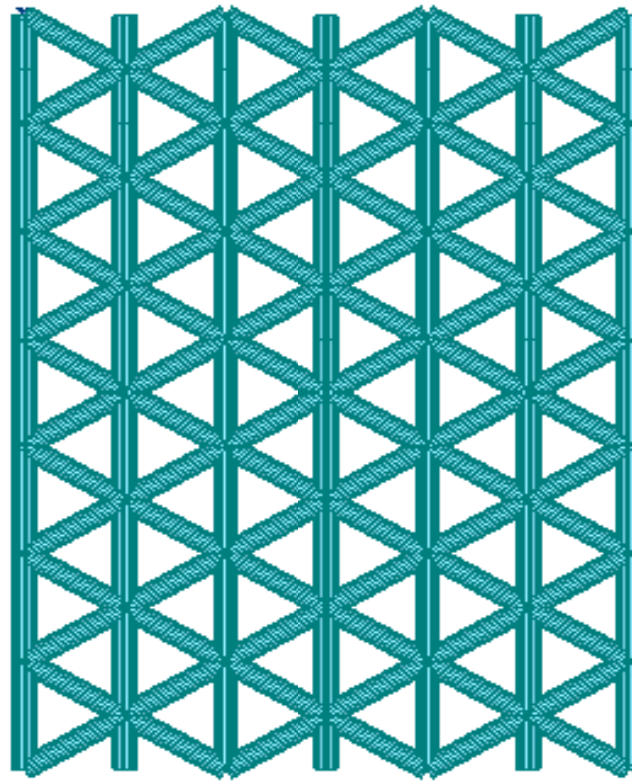
$$\text{równy: } \frac{R_e - \sigma^{z \text{ programu Robot}}}{R_e} 100\% = 11.1\%$$



Komórka w postaci pryzmy o podstawie sześciokąta foremnego

Wartość naprężenia granicznego w płaszczyźnie podstawy (x, y) przedstawia zależność:

$$\sigma^{gr} = \frac{2\sqrt{(\lambda_M \Phi_I^{gr} + \lambda_I \Phi_I^{gr}) \lambda_M \Phi_I^{gr}}}{\lambda_M \Phi_I^{gr} + \lambda_I \Phi_I^{gr}}$$



Przyjmując σ^{gr} (rozciągnięcie wzduż osi y) dla dowolnego materiału (wzór jest uniwersalny) naprężenia w prełach struktury są w przybliżeniu równe granicy plastyczności R_e elementu belkowego, dla stali $E = 205 GPa$, $G = 80.8 GPa$,

$$R_e = 215 MPa, \sigma^{z \text{ programu Robot}} = 230.90 MPa$$

błąd oceny naprężenia granicznego otrzymanego z energetycznego kryterium J. Rychlewskiego jest równy:

$$\frac{R_e - \sigma^{z \text{ programu Robot}}}{R_e} \cdot 100\% = -7.4\%$$

Minus oznacza, że kryterium J. Rychlewskiego w tym przypadku zawyża wartość naprężenia granicznego

POWIERZCHNIA GRANICZNA DLA SZEŚCIU ROZŁĄCZNYCH STANÓW WŁASNYCH MATERIAŁU ANIZOTROPOWEGO NA PRZYKŁADZIE TEKTURY

Wykorzystanie obliczonych gęstości granicznych energii sprężystych do energetycznego kryterium dla rozłącznych stanów własnych.

Omówienie realizacji na przykładzie : Y. A. Arramon et al., [2000]

$$2\lambda_A \Phi_T^{(A)} = (\sigma_T^{(A)})^2$$

$$\text{gęstości granicznych energii} \quad 2\lambda_A \Phi_C^{(A)} = (\sigma_C^{(A)})^2$$

postulowane kryterium:

$$(\sigma^{(A)} - \sigma_T^{(A)}) (\sigma^{(A)} - \sigma_C^{(A)}) = 0$$

gdzie:

$$\sigma_T^{(A)} = \sigma_{\max}^{(A)}, \quad \sigma_C^{(A)} = \sigma_{\min}^{(A)},$$

$A = 1, \dots, K$ kolejny stan własny

$$(\sigma^{(P)} - \sigma_T^{(P)}) (\sigma^{(P)} - \sigma_C^{(P)}) = 0$$

gdzie:

$$\begin{aligned} \sigma_T^{(P)} &= \sigma_{\max}^{(P)}, \quad \sigma_C^{(P)} = \sigma_{\min}^{(P)}, \\ \sigma^{(I)} &= \sigma_1, \quad \sigma^{(II)} = \sigma_2, \quad \sigma^{(III)} = \sigma_3 \end{aligned}$$

Wykorzystując dane doświadczalne dla materiału anizotropowego

$$E_1 = 3510 \text{ MPa}, E_2 = 3510 \text{ MPa}, E_3 = 6930 \text{ MPa}, V_{13} = 0.15,$$

$$\nu_{23} = 0.15, \nu_{12} = 0.3, G_{23} = 1700 \text{ MPa}, G_{13} = 1700 \text{ MPa}, G_{12} = 1500 \text{ MPa}$$

Tensor sztywności

$$\mathbf{S} = \begin{bmatrix} 4220 & 1520 & 1700 & 0 & 0 & 0 \\ 1520 & 4220 & 1700 & 0 & 0 & 0 \\ 1700 & 1700 & 7940 & 0 & 0 & 0 \\ 0 & 0 & 0 & 1700 & 0 & 0 \\ 0 & 0 & 0 & 0 & 1700 & 0 \\ 0 & 0 & 0 & 0 & 0 & 1500 \end{bmatrix} \text{ MPa}$$

Wektory własne

$$\boldsymbol{\omega}_1 = \begin{bmatrix} 0.382 \\ 0.382 \\ 0.841 \\ 0 \\ 0 \\ 0 \end{bmatrix}, \quad \boldsymbol{\omega}_2 = \begin{bmatrix} -0.594 \\ -0.594 \\ 0.54 \\ 0 \\ 0 \\ 0 \end{bmatrix}, \quad \boldsymbol{\omega}_3 = \begin{bmatrix} 0 \\ 0 \\ 0 \\ 0 \\ 0 \\ 0 \end{bmatrix}, \quad \boldsymbol{\omega}_4, \boldsymbol{\omega}_5, \boldsymbol{\omega}_6 \text{ pominięto}$$

Wartości własne

$$\lambda = \begin{bmatrix} 9480 \\ 4200 \\ 2700 \\ 1700 \\ 1700 \\ 1500 \end{bmatrix} \text{ MPa}$$

Powierzchnie graniczne dla rozłącznych stanów własnych opisują zależności;

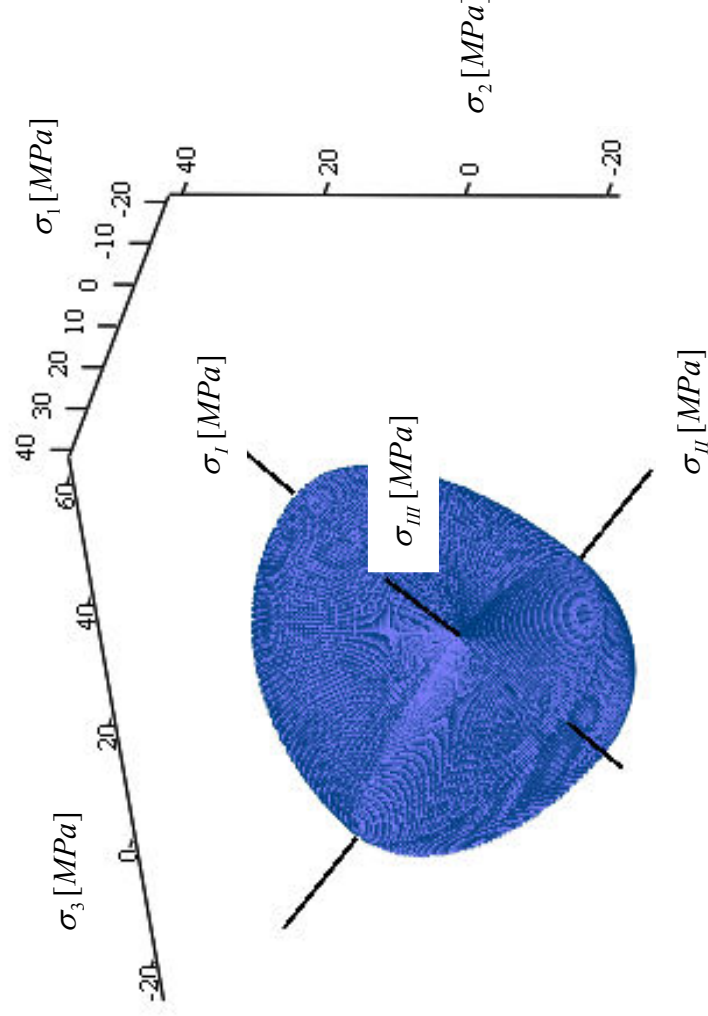
$$(0.382\sigma_1 + 0.382\sigma_2 + 0.841\sigma_3 - 47.1)(0.382\sigma_1 + 0.382\sigma_2 + 0.841\sigma_3 + 16.8) = 0$$

$$(0.595\sigma_1 + 0.595\sigma_2 - 0.54\sigma_3 - 18.1)(0.595\sigma_1 + 0.595\sigma_2 - 0.54\sigma_3 + 30.3) = 0$$

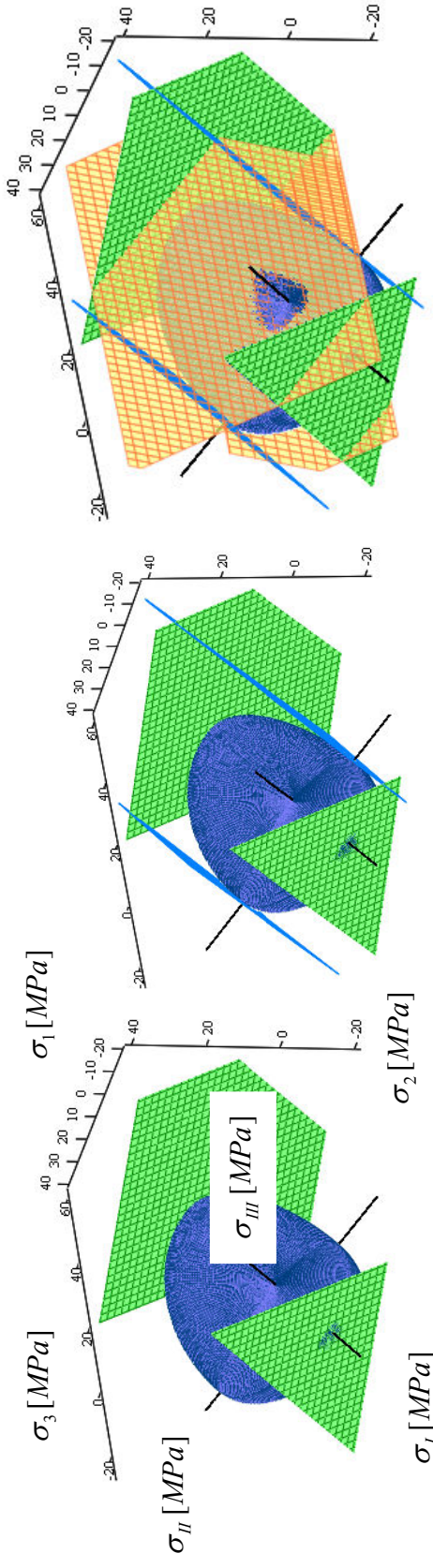
$$(0.707\sigma_1 - 0.707\sigma_2 - 21.6)(0.707\sigma_1 - 0.707\sigma_2 + 9.19) = 0$$

Powierzchnie graniczne na podstawie kryteriów:

- Granicznych energii dla sprzążonych stanów własnych

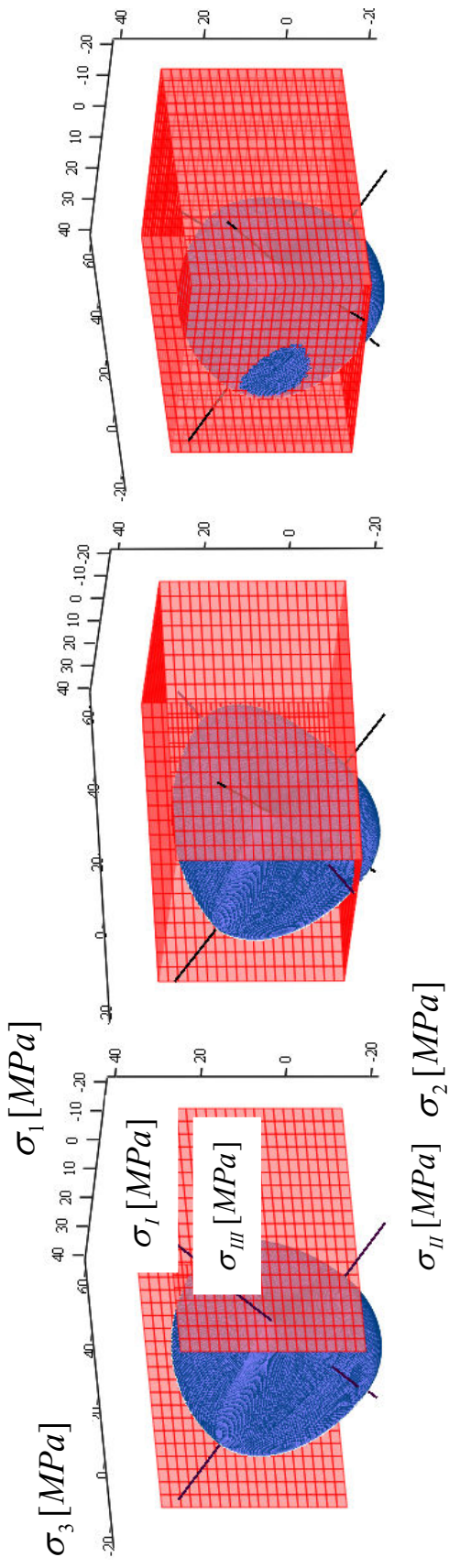


- Granicznych energii dla rozłącznych stanów własnych

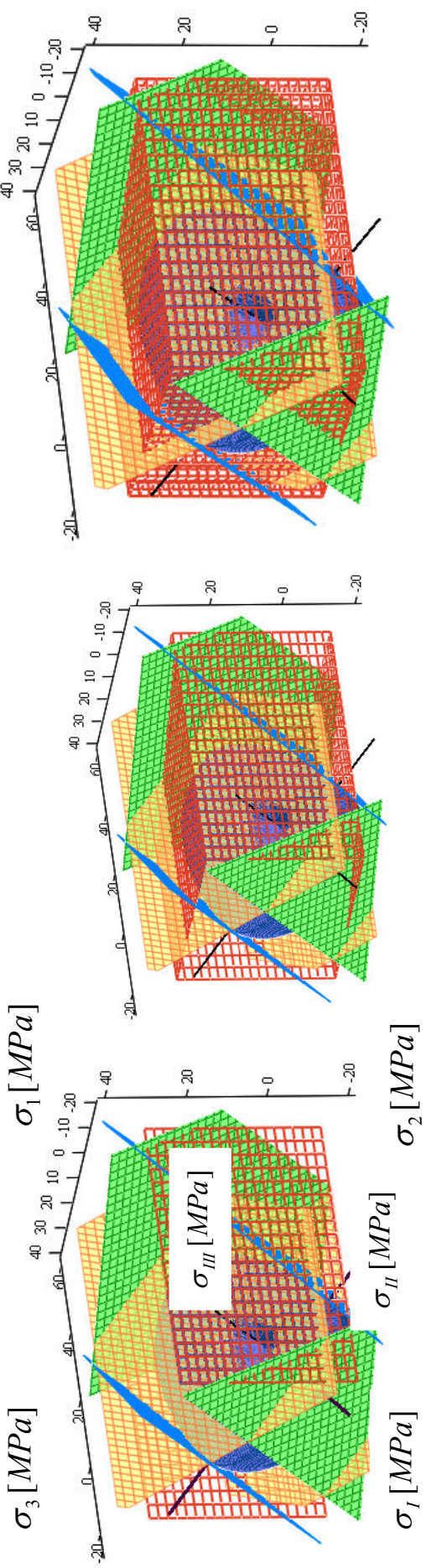


- Granicznych naprężeń głównych

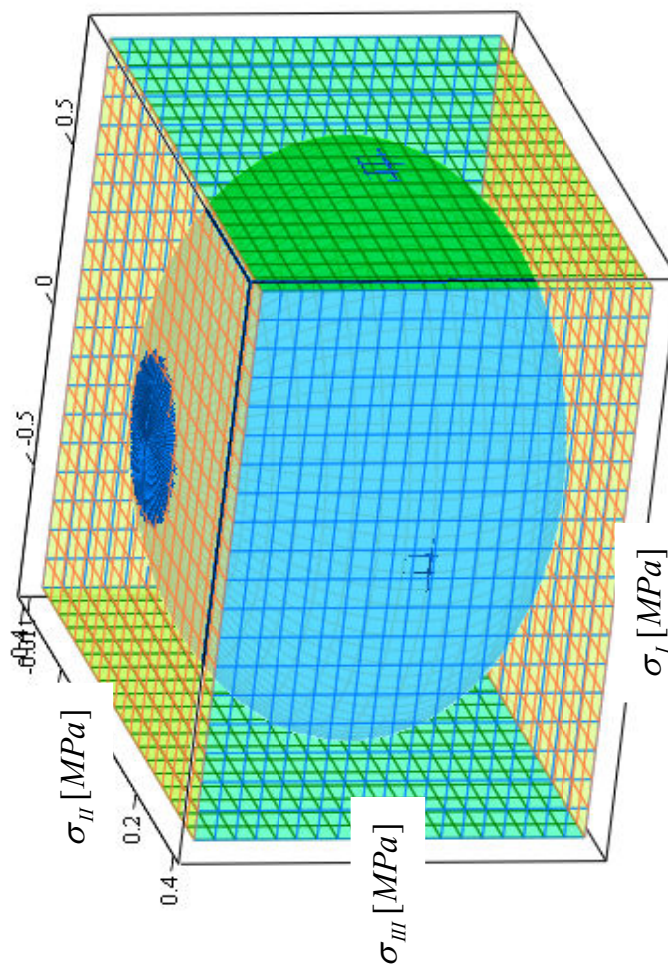
$\sigma_{1r} = 36 \text{ MPa}, \sigma_{1s} = 18 \text{ MPa}, \sigma_{2r} = 30.5 \text{ MPa}, \sigma_{2s} = 13 \text{ MPa}, \sigma_{3r} = 56 \text{ MPa}, \sigma_{3s} = 20 \text{ MPa}$



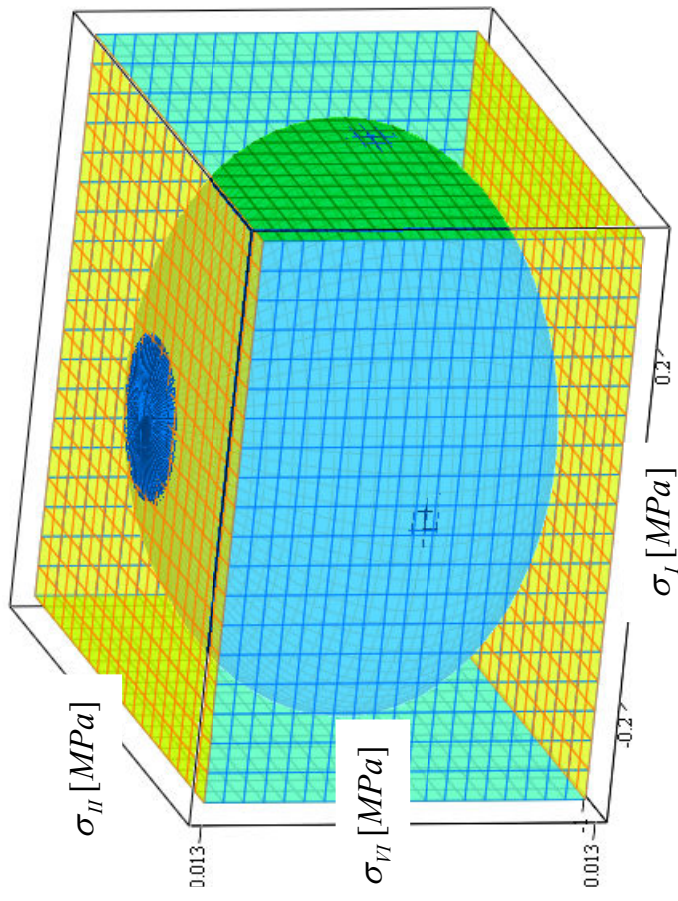
- Powierzchnia graniczna powstała w wyniku złożenia ww. kryteriów



PORÓWNANIE POWIERZCHNI GRANICZNYCH W PRZESTRZENI STANÓW WŁASNYCH

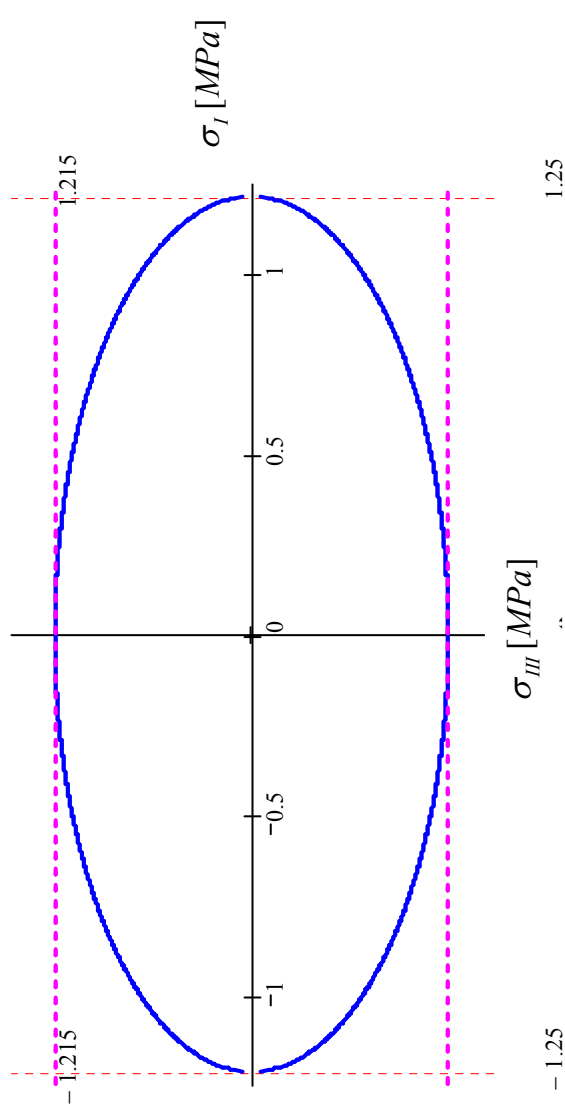


Komórka sześcienna
 $L = 2000 \mu m$, $d = 150 \mu m$

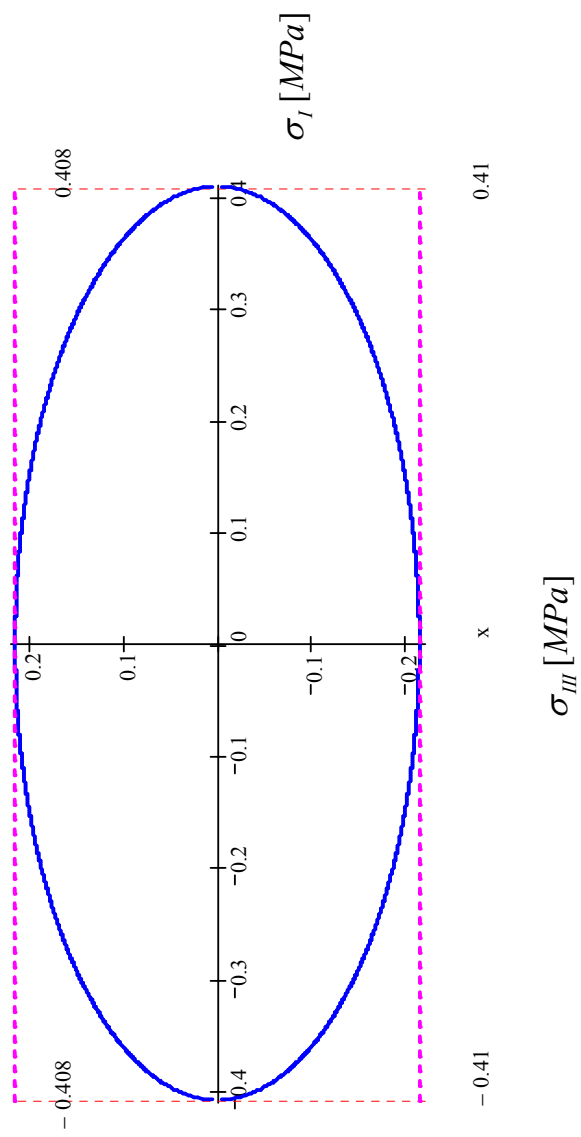


Komórka prostopadłoscienna
 $L_{1-2} = 1000 \mu m$, $L_{3-4} = 4000 \mu m$, $H = 1000 \mu m$,
 $d = 120 \mu m$

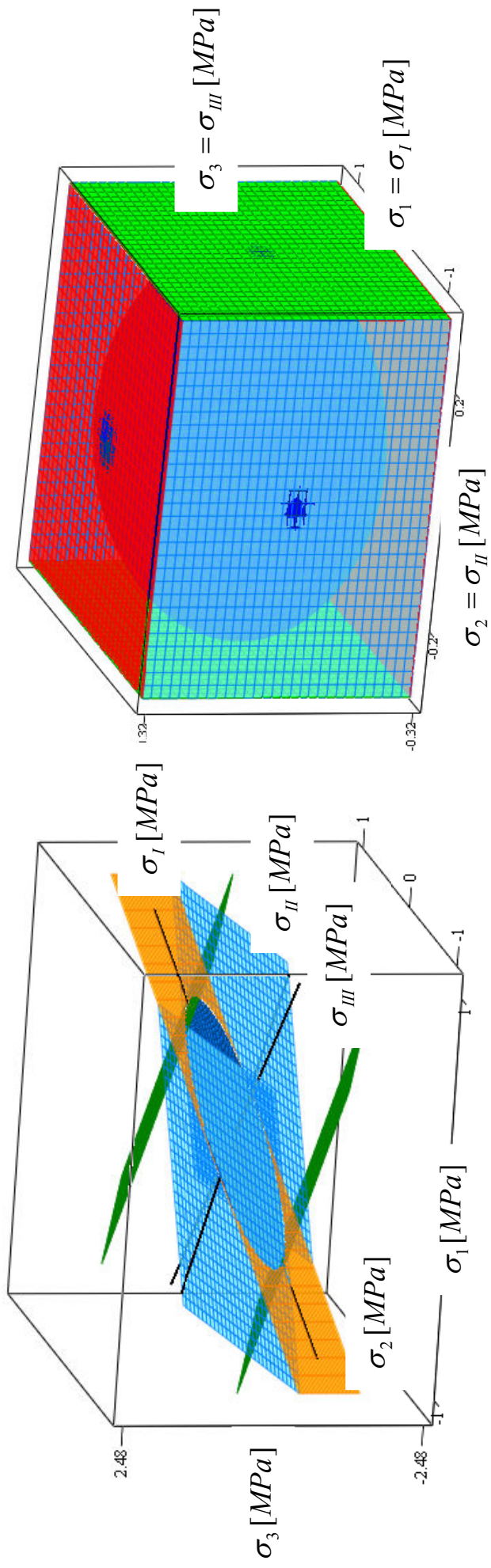
Komórka w postaci
pryzmy o podstawie
trójkąta równobocznego



Komórka w postaci pryzmy
o podstawie sześciokąta
foremnego

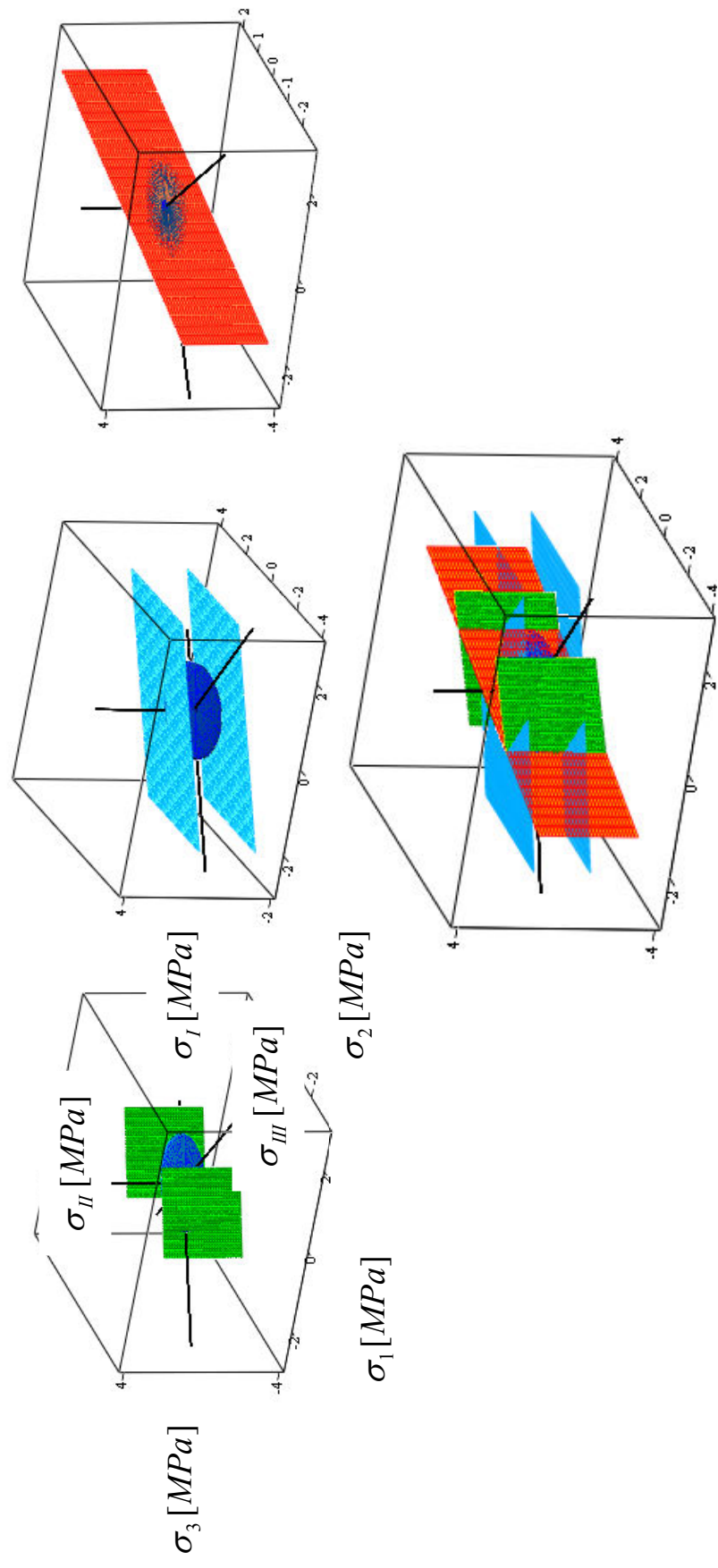


PORÓWNANIE POWIERZCHNI GRANICZNYCH W PRZESTRZENI NAPRĘŻEŃ GŁÓWNYCH

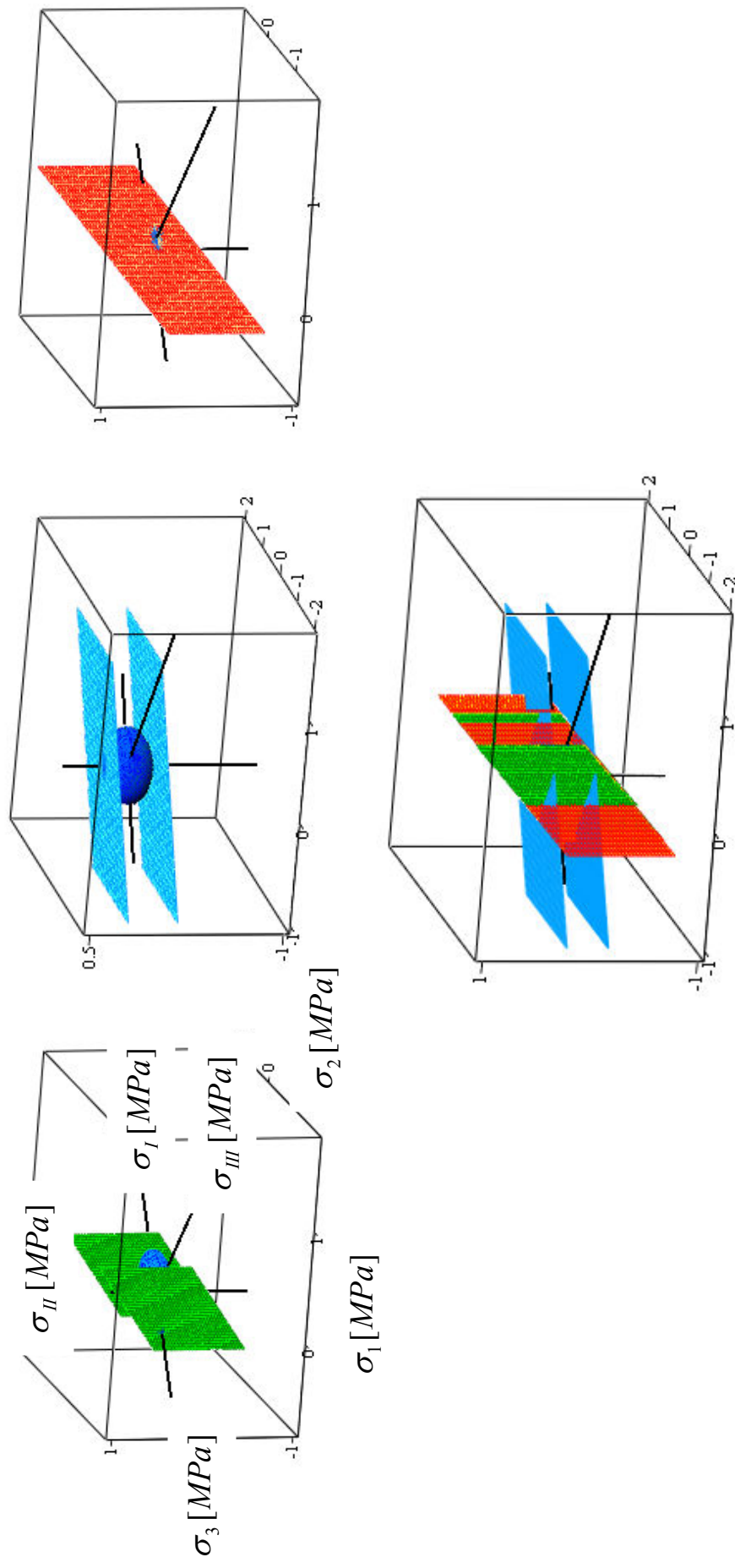


Komórka sześcienna
 $L = 2000 \mu m$, $d = 150 \mu m$

Komórka prostopadłościenna
 $L_{1-2} = 1000 \mu m$, $L_{3-4} = 4000 \mu m$, $H = 1000 \mu m$,
 $d = 120 \mu m$



Komórka w postaci pryzmy o podstawie trójkąta równobocznego
 $L = 2000 \mu m$, $H = 2000 \mu m$, $d = 260 \mu m$

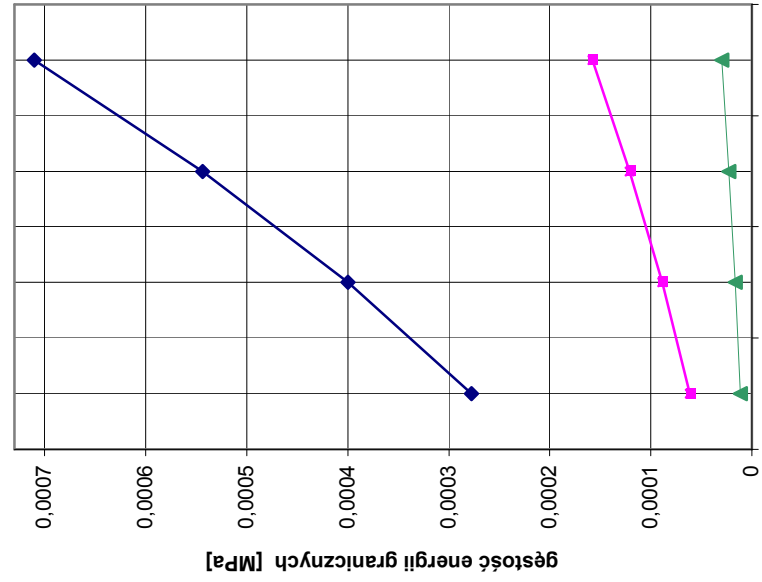


Komórka w postaci pryzmy o podstawie sześciokąta foremnego

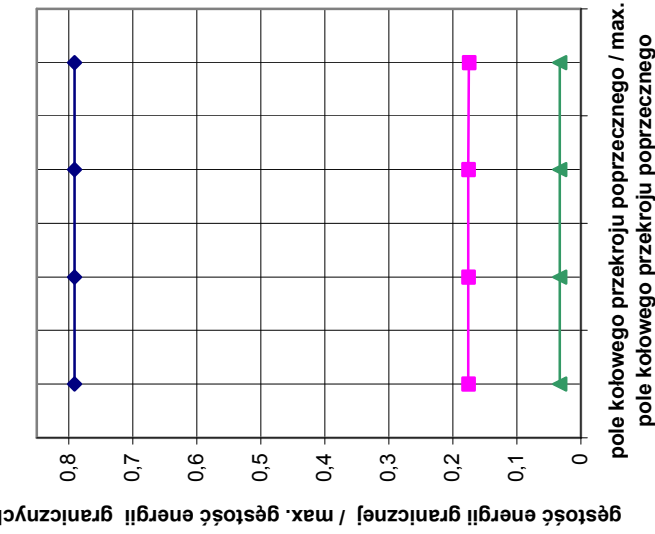
$$L = 2000 \mu m, H = 2000 \mu m, d = 87 \mu m$$

ANALIZA ROZKŁADU GĘSTOŚCI ENERGII GRANICZNYCH DLA SPREŻYSTYCH STANÓW WŁASNYCH Z PUNKTU WIDZENIA ZMIANY SZTYWNOSCI STRUKTURY KOMÓRKOWEJ

KOMÓRKA SZEŚCIENNA - SYMETRIA KUBICZNA



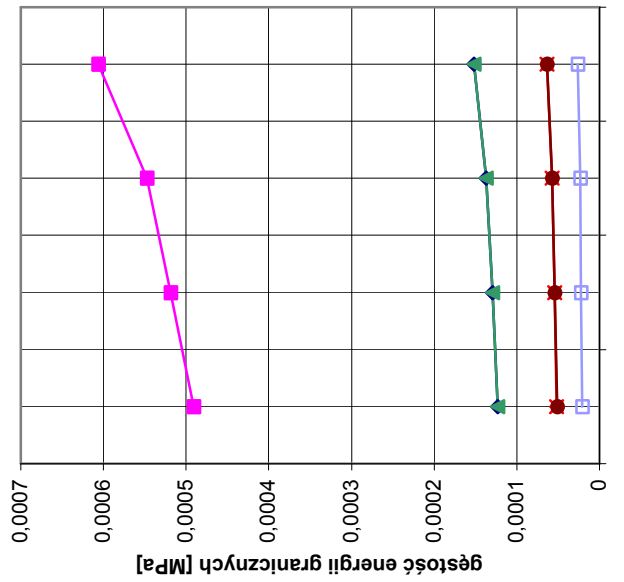
KOMÓRKA SZEŚCIENNA - SYMETRIA KUBICZNA



ν - współczynnik Poissona dla elementu belkowego

— I STAN WŁASNY — II STAN WŁASNY
— III STAN WŁASNY

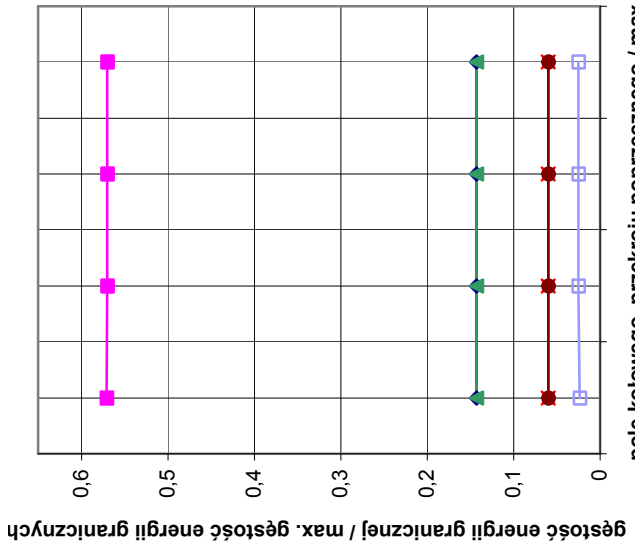
**KOMÓRKA PROSTOPADŁOŚCIENNA .
ORTOTROPIA**



pole kolowego przekroju poprzecznego / max.
pole kolowego przekroju poprzecznego

- I STAN WŁASNY
- II STAN WŁASNY
- ▲ III STAN WŁASNY
- * IV STAN WŁASNY
- V STAN WŁASNY
- VI STAN WŁASNY

**KOMÓRKA PROSTOPADŁOŚCIENNA .
ORTOTROPIA**



gęstość energii granicznej / max. gęstość energii granicznych

- I STAN WŁASNY
- II STAN WŁASNY
- ▲ III STAN WŁASNY
- * IV STAN WŁASNY
- V STAN WŁASNY
- VI STAN WŁASNY

Stop Cu-1%Ni,
 $E_s = 117 \text{ GPa}$, $G_s = 45 \text{ GPa}$,

$$R_e = 112 \text{ MPa},$$

$$L_{1-2} = 1000 \mu\text{m}, L_{3-4} = 4000 \mu\text{m},$$

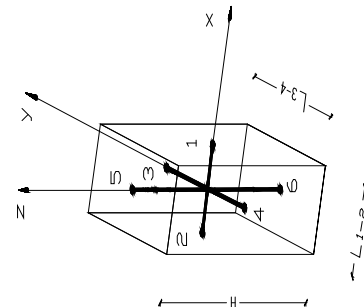
$$H = 1000 \mu\text{m}$$

$$d_1 = 108 \mu\text{m},$$

$$d_2 = 111 \mu\text{m},$$

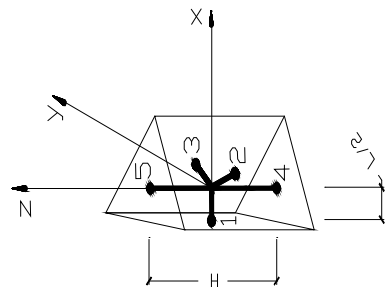
$$d_3 = 114 \mu\text{m},$$

$$d_4 = 120 \mu\text{m}$$

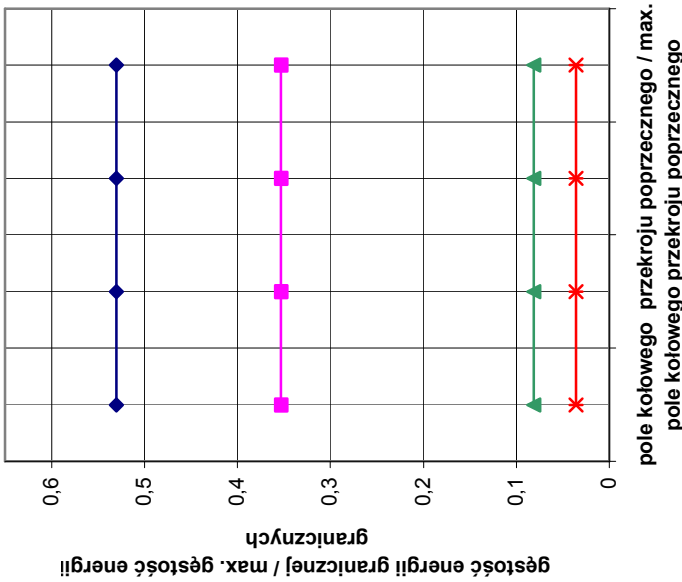


$$\Phi_I^{gr} = \Phi_{III}^{gr}, \Phi_{IV}^{gr} \approx \Phi_{VI}^{gr}$$

stop Cu-1%Ni,
 $E_s = 117 \text{ GPa}$, $G_s = 45 \text{ GPa}$,
 $R_e = 112 \text{ MPa}$,
 $L = 2000 \mu\text{m}$, $H = 2000 \mu\text{m}$
 $d_1 = 234 \mu\text{m}$,
 $d_2 = 240.5 \mu\text{m}$,
 $d_3 = 247 \mu\text{m}$,
 $d_4 = 260 \mu\text{m}$

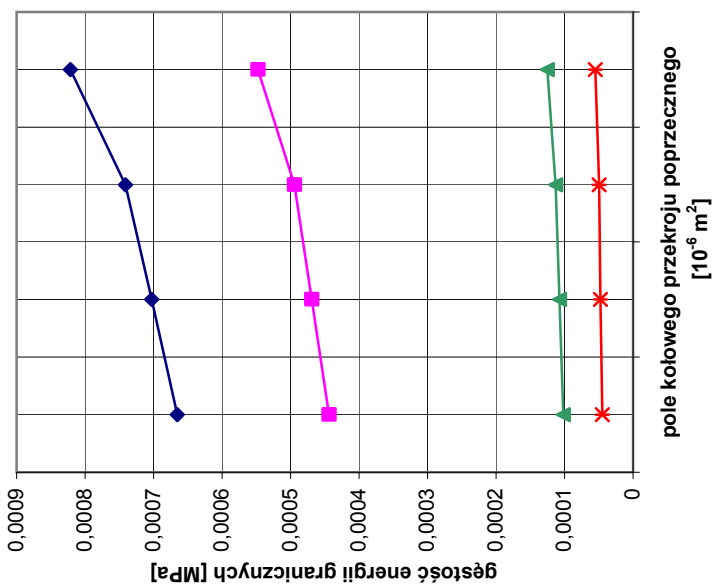


**KOMÓRKA W POSTACI PRYZMY O
PODSTAWIE TRÓJKĄTA
RÓWNOBOCZNEGO - SYMETRIA
TRANSVERSALNE IZOTROPOWA**



— I STAN WŁASNY ■ II STAN WŁASNY
 — III STAN WŁASNY ✕ IV STAN WŁASNY

**KOMÓRKA W POSTACI PRYZMY O
PODSTAWIE TRÓJKĄTA
RÓWNOBOCZNEGO - SYMETRIA
TRANSVERSALNE IZOTROPOWA**



— I STAN WŁASNY ■ II STAN WŁASNY
 — III STAN WŁASNY ✕ IV STAN WŁASNY

**stop Cu-1%Ni,
 $E_s = 117 \text{ GPa}$, $G_s = 45 \text{ GPa}$,**

$$R_e = 112 \text{ MPa},$$

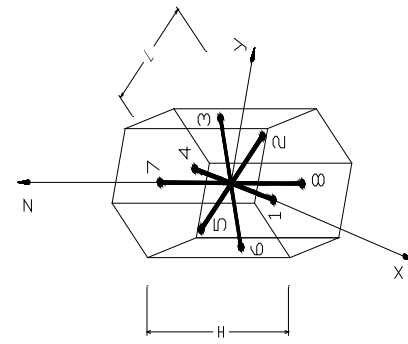
$$L = 2000 \mu\text{m}, \quad H = 2000 \mu\text{m}$$

$$d_1 = 78.3 \mu\text{m},$$

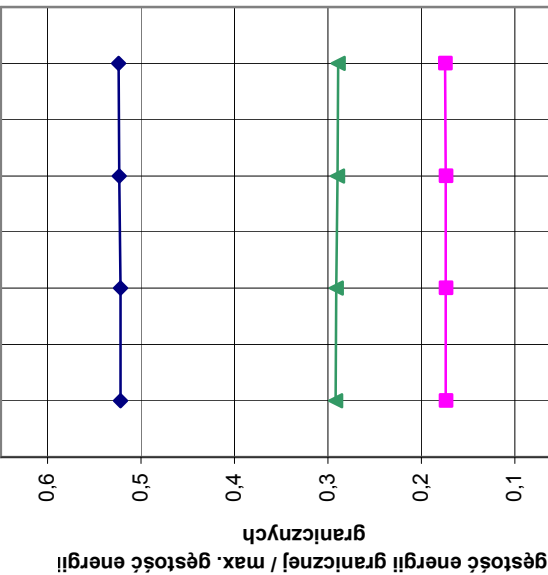
$$d_2 = 80.47 \mu\text{m},$$

$$d_3 = 84.82 \mu\text{m},$$

$$d_4 = 87 \mu\text{m}$$



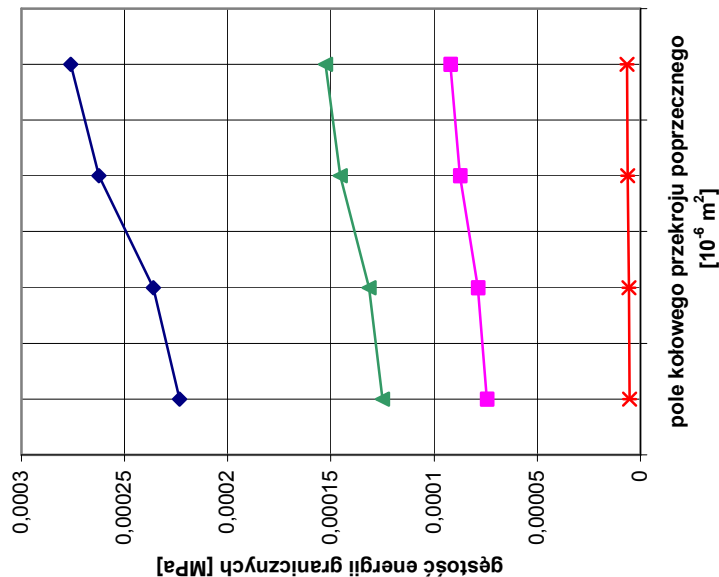
**KOMÓRKA W POSTACI PRYZMY O
 PODSTAWIE SZEŚCIOKĄTA
 FOREMNEGO - SYMETRIA
 TRANSWERSALNIE IZOTROPOWA**



pole kolowego przekroju poprzecznego / max.
 pole kolowego przekroju poprzecznego

— I STAN WŁASNY ■ II STAN WŁASNY
 ▲ III STAN WŁASNY * IV STAN WŁASNY

**KOMÓRKA W POSTACI PRYZMY O
 PODSTAWIE SZEŚCIOKĄTA
 FOREMNEGO - SYMETRIA
 TRANSWERSALNIE IZOTROPOWA**



pole kolowego przekroju poprzecznego
 $[10^{-6} \text{ m}^2]$

— I STAN WŁASNY ■ II STAN WŁASNY
 ▲ III STAN WŁASNY * IV STAN WŁASNY

PORÓWNANIE OTRZYMANYCH REZULTATÓW Z DANYMI PREZENTOWANYMI W LITERATURZE

PORÓWNANIE NA POZIOMIE MODELU BELKOWEGO

Pianka węglowa

Rozwiązańanie analityczne wg S. Choi i B. V. Sankar [2005]:

$$E^* = 134.632 \text{ GPa}, G^* = 3.486 \text{ GPa}, \sigma^* = \sigma^{gr} = 3.599 \text{ MPa}$$

Wyniki doświadczalne wg S. Choi i B. V. Sankar [2005]:

$$E^* = 124 \text{ GPa}, \sigma^* = \sigma^{gr} = 3.5805 \text{ MPa}$$

Rozwiązańania analityczne wg obliczeń własnych:

$$E^* = 134.632 \text{ GPa}, G^* = 2.919 \text{ GPa}, \sigma^* = \sigma^{gr} = 3.414 \text{ MPa}$$

Błąd oceny naprężenia granicznego otrzymanego z energetycznego kryterium J. Rychlewskiego porównując z wynikami doświadczalnymi jest równy:

$$\frac{3.5805 - 3.414}{3.5805} 100\% = 4.6\%. \quad \text{Błąd oceny naprężenia granicznego otrzymanego z rozwiązania podanego w pracy S. Choi i B. V. Sankar [2005] porównując z wynikami doświadczalnymi jest równy: } \frac{3.5805 - 3.599}{3.5805} 100\% = -0.5\%.$$

Pianka aluminiowa

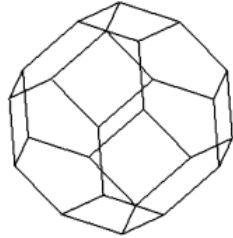
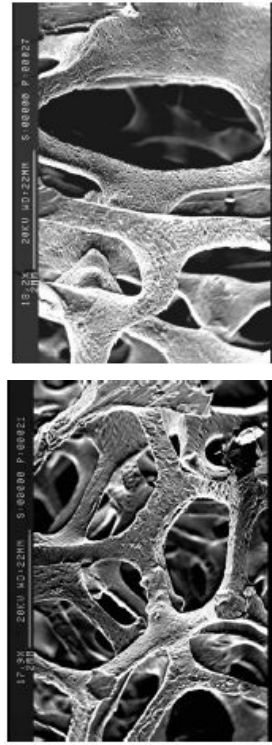
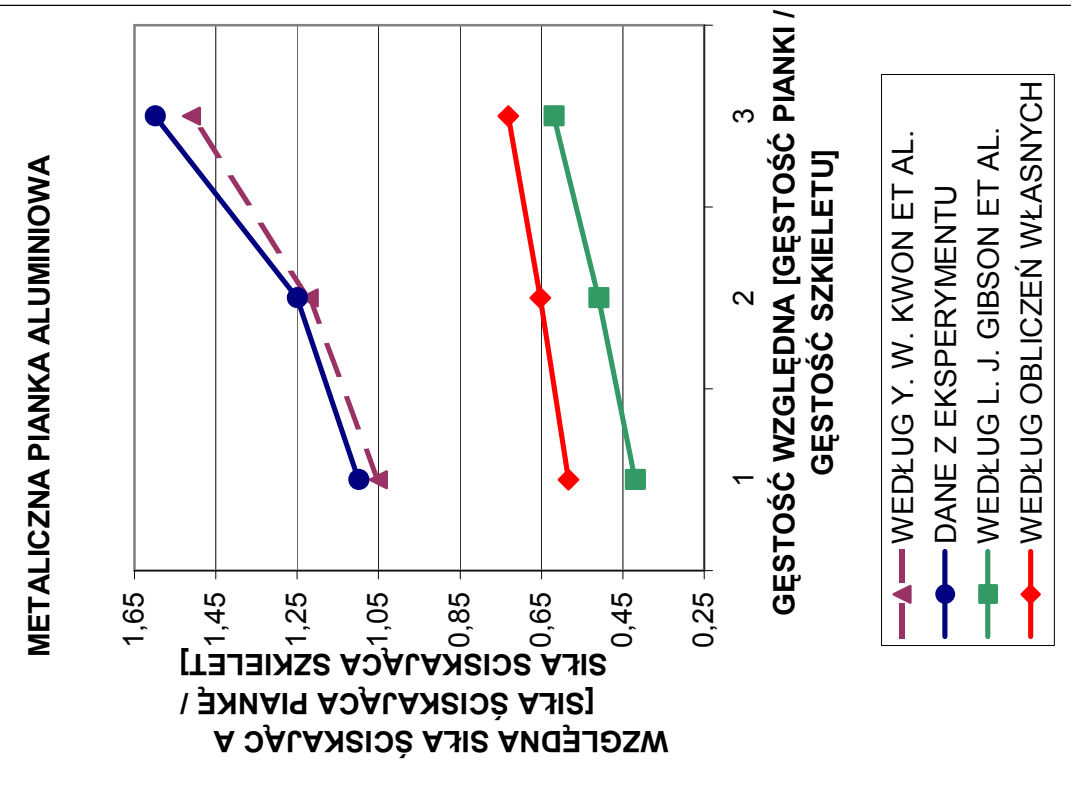
Wymiary i charakterystyki materiałowe elementów reprezentatywnej komórki (Y. W. Kwon, R. E. Cooke, C. Park [2003]):

$$E_s = 70 \text{ GPa}, \sigma_s = R_e = 240 \text{ MPa},$$

$$V_s = 0.3, \rho_s = 2.70 \text{ g cc}^{-1}.$$

Porównano pianki aluminiowe o trzech gęstościach względnych:

$$\frac{\rho}{\rho_s} = 0.061, \frac{\rho^*}{\rho_s} = 0.068, \frac{\rho^{**}}{\rho_s} = 0.077.$$



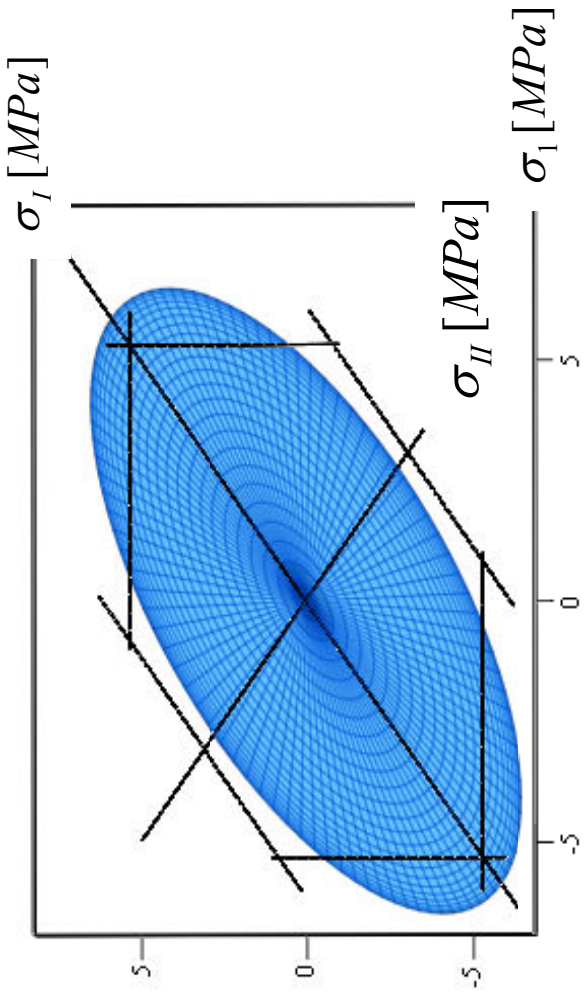
PORÓWNANIE MODELU BELKOWEGO Z INNYMI MODELAMI

- 54 -

Porównano rozwiązania otrzymane dla reprezentatywnej komórki sześciennej w płaskim stanie naprężenia dla następujących danych dotyczących materiału szkieletu:

$$\text{aluminium, } E_s = 55 \text{ GPa, } \nu_s = 0.3, \text{ objętość względna } V_f = 0.16, \quad G_s = \frac{E_s}{2(1 + \nu_s)}.$$

$\sigma_2 [MPa]$

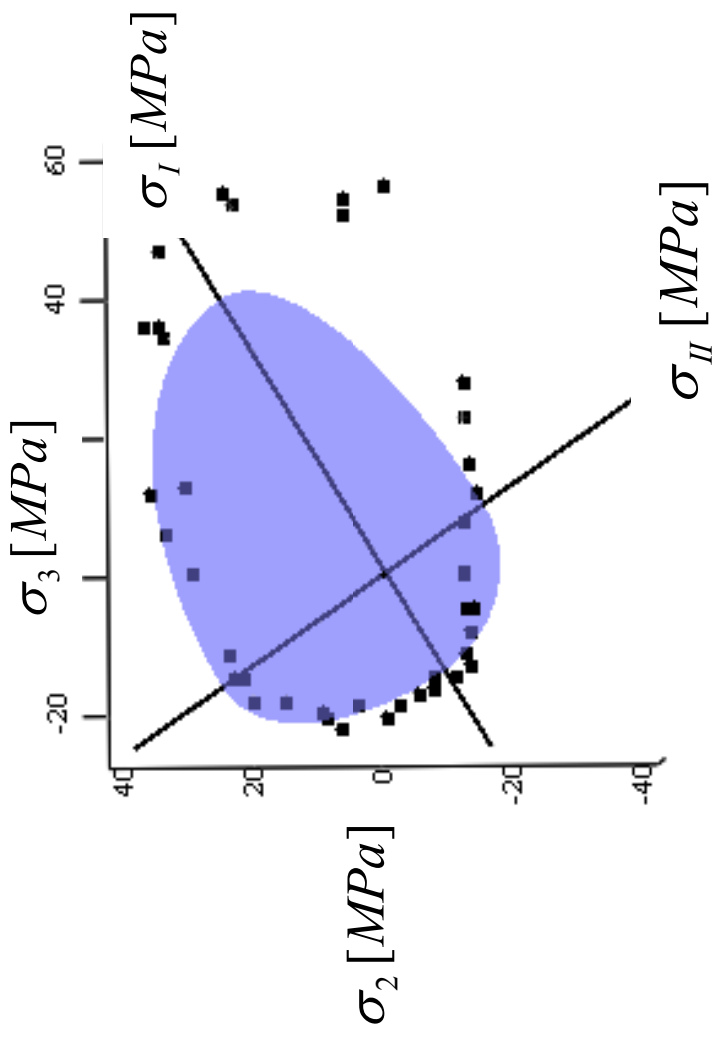


Model sześciennej struktury
komórkowej wg pracy
J. Aboudi, R. Gilat [2005]

Porównanie powierzchni granicznych wg obliczeń własnych z wartościami prezentowanymi w pracy
J. Aboudi, R. Gilat [2005].

PORÓWNANIE OBLICZEŃ ANALITYCZNYCH Z DOŚWIADCZENIEM

- 55 -



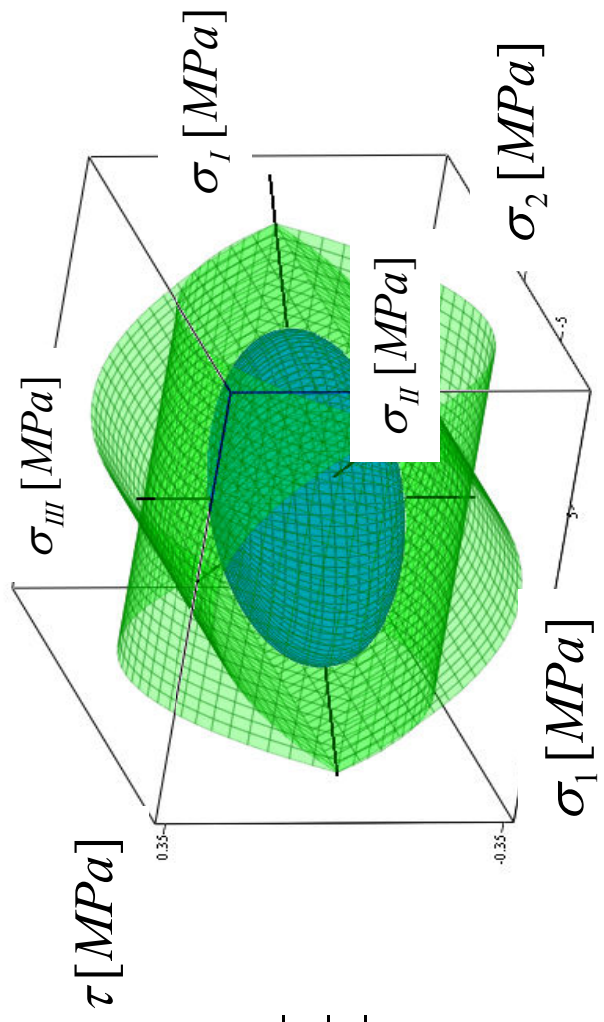
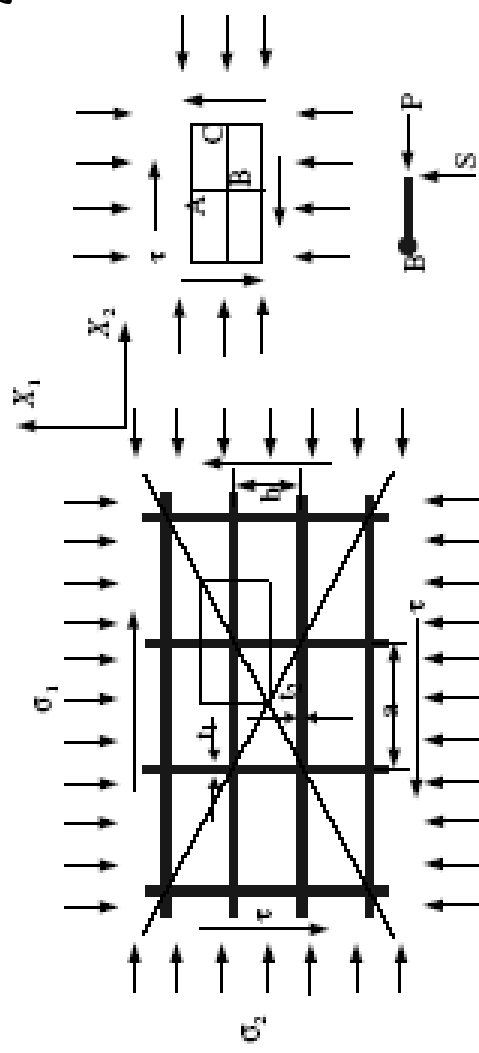
Porównanie obliczeń analitycznych z danymi z eksperymentu na przykładzie tektury J. C. Suhling et al. [1985] i M. W. Biegler et al. [1995]

Porównanie obliczeń analitycznych z danymi z eksperymentu na przykładzie tektury

- 56 - ZASTOSOWANIE MODELU BELKOWEGO DLA MATERIAŁÓW O STRUKTURZE PLASTRA MIODU

Model wg pracy A. J. Wang, D. L. McDowell [2004]
dla plastra miodu o podstawie prostokąta

(dla kwadratu $a = b = l$, $t_1 = t_2 = t$):



Równanie powierzchni granicznej
wg A. J. Wang, D. L. McDowell [2004]:

$$\max \left\{ \left[\frac{b}{a} \left(\frac{\sigma_2}{\sigma_{ys}} \right)^2 + 2 \frac{|\tau|}{\sigma_{ys}} - \frac{(t_2)^2}{ab} \right], \left[\frac{a}{b} \left(\frac{\sigma_1}{\sigma_{ys}} \right)^2 + 2 \frac{|\tau|}{\sigma_{ys}} - \frac{(t_1)^2}{ab} \right] \right\} = 0$$

Powierzchnie graniczne dla stopu Cu–1%Ni $E_s = 117 \text{ GPa}$, $G_s = 45 \text{ GPa}$, $R_e = 112 \text{ MPa}$,
 $L = 2000 \mu\text{m}$, $d = 150 \mu\text{m}$, pasmo o szerokości $H = 2000 \mu\text{m}$.

Porównując wartość naprężenia granicznego otrzymanego z eksperymentu (A. M. Hayes et al. [2004]) dla stopu 18Ni(350) otrzymujemy:

Rozwiążanie analityczne
wg A. J. Wang, D. L. McDowell [2005]:

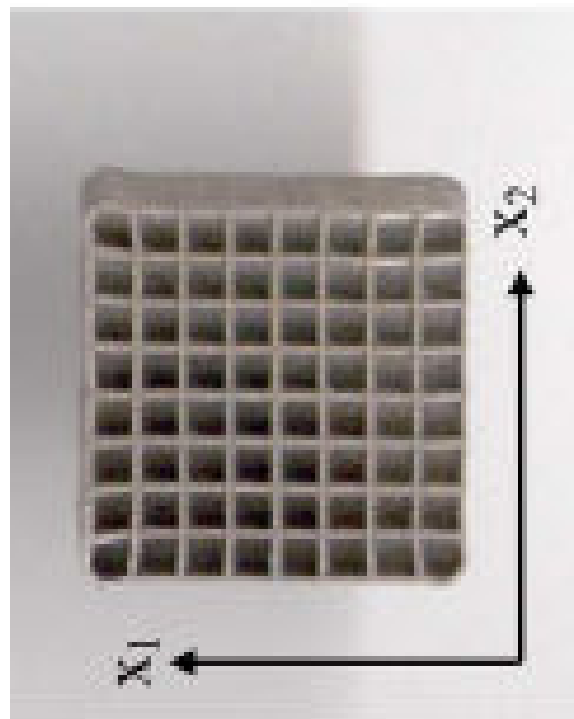
$$\sigma^* = \sigma^{gr} = 200 \text{ MPa}$$

Wyniki doświadczalne wg A. M. Hayes et al. [2004]:

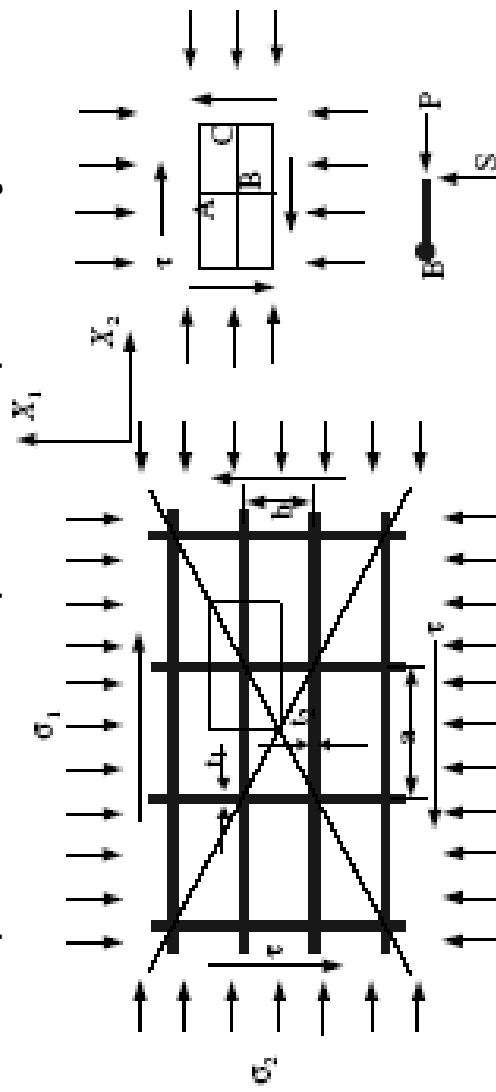
$$\sigma^* = \sigma^{gr} = 68 \text{ MPa}$$

Rozwiążania analityczne wg obliczeń własnych:

$$\sigma^* = \sigma^{gr} = 67.251 \text{ MPa}$$



Model wg A. J. Wang, D. L. McDowell [2004]
dla plastra miodu o podstawie prostokąta:

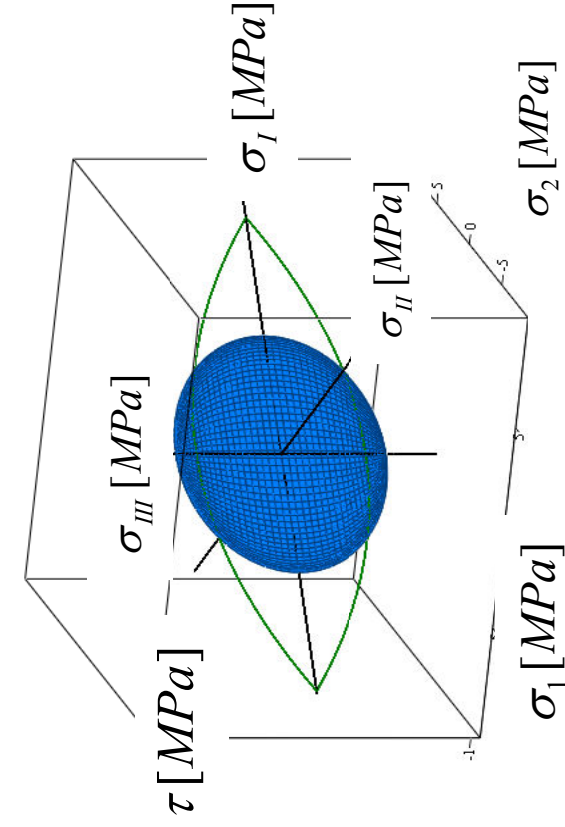
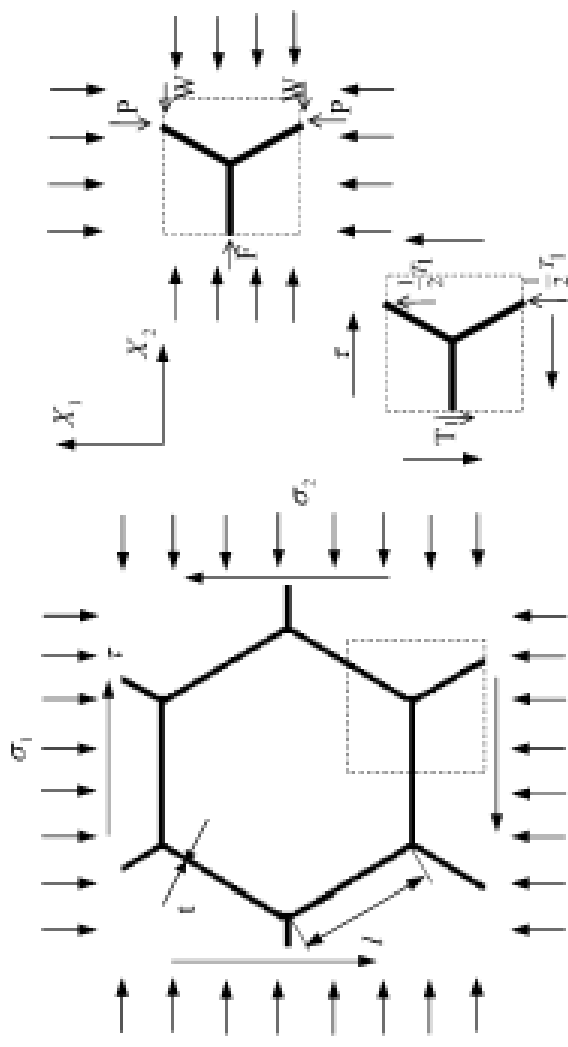


Równanie powierzchni granicznej
wg A. J. Wang, D. L. McDowell [2004]:

$$\max \left\{ \left[\frac{b}{a} \left(\frac{\sigma_2}{\sigma_{ys}} \right)^2 + 2 \frac{|\tau|}{\sigma_{ys}} \right], \left[\frac{a}{b} \left(\frac{\sigma_1}{\sigma_{ys}} \right)^2 + 2 \frac{|\tau|}{\sigma_{ys}} - \frac{(t_1)^2}{ab} \right] \right\} = 0$$

Powierzchnie graniczne dla stopu Cu–1% $E_s = 117 \text{ GPa}$, $G_s = 45 \text{ GPa}$, $R_e = 112 \text{ MPa}$,
 $L_{1-2} = 1000 \mu\text{m}$, $L_{3-4} = 4000 \mu\text{m}$, $d = 120 \mu\text{m}$, pasmo o szerokości $H = 1000 \mu\text{m}$.

Model wg A. J. Wang, D. L. McDowell [2004]
dla plastra miodu o podstawie sześciokąta foremnego:

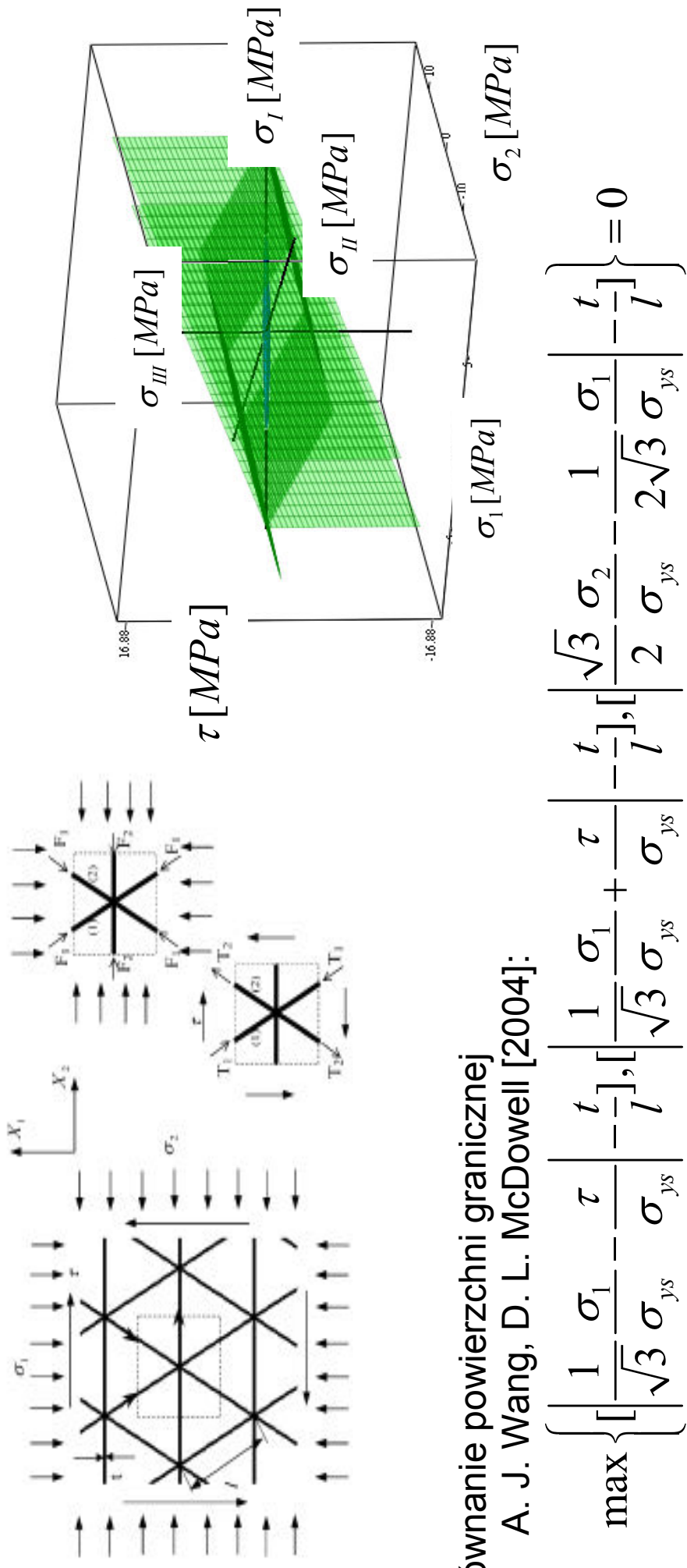


Równanie powierzchni granicznej
wg A. J. Wang, D. L. McDowell [2004]:

$$\max \left\{ \left[\frac{3(3(\sigma_1 + \tau) + \sigma_2)^2}{16(\sigma_{ys})^2} + \frac{3|\sigma_2 - (\sigma_1 + \tau)|}{2\sigma_{ys}} - \frac{t^2}{l^2} \right], \left[3 \frac{(\sigma_1)^2}{(\sigma_{ys})^2} + 2\sqrt{3} \frac{|\tau|}{\sigma_{ys}} - \frac{t^2}{l^2} \right] \right\} = 0$$

Powierzchnie graniczne dla stopu Cu–1% $E_s = 117 \text{ GPa}$, $G_s = 45 \text{ GPa}$, $R_e = 112 \text{ MPa}$,
 $L = 2000 \mu\text{m}$, $d = 260 \mu\text{m}$, pasmo o szerokości $H = 2000 \mu\text{m}$.

Model wg A. J. Wang, D. L. McDowell [2004] dla plastra miodu o podstawie trójkąta równobocznego:



Równanie powierzchni granicznej A | Wang D | McDowell [2]

A. J. Wang, D. L. McDowell [2004]:

$$\max \left\{ \left| \frac{1}{\sqrt{3}} \frac{\sigma_1 - \tau}{\sigma_{ys}} - \frac{\tau}{\sigma_{ys}} \right|, \left| \frac{1}{\sqrt{3}} \frac{\sigma_1 + \tau}{\sigma_{ys}} + \frac{\tau}{\sigma_{ys}} \right| - \frac{t}{l} \right\} = 0$$

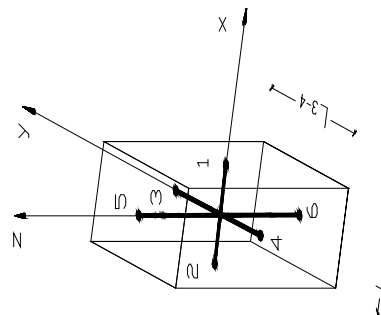
Do narysowania powierzchni granicznych wykorzystano charakterystyki materiałowe stopu Cu-1%Ni $E_s = 117 \text{ GPa}$, $G_s = 45 \text{ GPa}$, $R_e = 112 \text{ MPa}$, $L = 2000 \mu\text{m}$, $d = 87 \mu\text{m}$, pasmo o szerokości $H = 2000 \mu\text{m}$.

Literatura

- [1] J. Aboudi, R. Gilat: Micromechanical analysis of lattice blocks, International Journal of Solids and Structures 42, 2005, 4372-4392
- [2] Y. A. Arramon, M. M. Mehrabadi, D. W. Martin, S. C. Cowin: A multidimensional anisotropic strength criterion based on Kelvin modes, International Journal of Solids and Structures, 37, 2000, 2915-2935
- [3] M. W. Biegler, M. M. Mehrabadi: An energy-based constitutive model for anisotropic solids subject to damage, Mechanics of Materials, 19, 1995, 151-164
- [4] L. J. Gibson, M. F. Ashby: Cellular solids: Structure and properties, Cambridge University Press 1997
- [5] A. M. Hayes, A. Wang, B. M. Dempsey, D. L. McDowell: Mechanics of linear cellular alloys, Mechanics of Materials 36, 2004, 691-713
- [6] M. Janus-Michalska, R. B. Pęcherski: Macroscopic properties of open-cell foams based on micromechanical modelling, Technische Mechanik, 2003, 23, 234-244
- [7] M. M. Mehrabadi, S. C. Cowin: Eigentensors of linear anisotropic elastic materials, Mech. appl. Math. 1990 Vol 43, 15-41
- [8] K. T Nalepka, R. B. Pęcherski: Energetyczne kryteria wytrzymałości. Propozycja obliczania granicznych energii z pierwszych zasad, Rudy Metale, 2003, r. 48, 533÷536
- [9] S. Nemat-Nasser, M. Hori: Micromechanics; overall properties of heterogeneous materials, Second Revised Edition, N H, 1999
- [10] J. Ostrowska-Maciejewska, K. Kowalczyk-Gajewska: Matematyczne podstawy anizotropii spłaszczonej z przykładami, Wykłady w Katedrze Wytrzymałości Materiałów, IMB PK, 22 03 2004
- [11] J. Rychlewski: CEIIINOSSSTTUW, Математическая структура упругих тел, Препринт N 217, Москва 1983
- [12] J. Rychlewski: О законе Гука, ПММ, 48, 3, 420-432, 1984(а)
- [13] J. Rychlewski: Разложение упругой энергии и критерии предельности, Успехи Механики—Advances in Mechanics, 1984(b), t.7, s. 51-80
- [14] J. Rychlewski: Unconventional approach to linear elasticity, Arch. Mech., 47, 149 – 171, 1995
- [15] A. J. Wang, D. L. McDowell: In-Plane Stiffness and Yield Strength of Periodic Metal Honeycombs, Journal of Engineering Materials and Technology, 2004
- [16] A. J. Wang, D. L. McDowell: Yield surfaces of various periodic metal honeycombs at intermediate relative density, International af of Plasticity, 2005

**BEZWYMIAROWE ZALEŻNOŚCI OKREŚLAJĄCE ROZKŁAD GĘSTOŚCI ENERGII
STAŃOW GRANICZNYCH**

- 62 -



$$\frac{\Phi_I^{gr}}{\Phi_I^{gr} + \Phi_{II}^{gr} + \Phi_{III}^{gr} + \Phi_{IV}^{gr} + \Phi_{V}^{gr} + \Phi_{VI}^{gr}} = \frac{1.225 \cdot 10^{21}}{6.434 \cdot 10^{21} + 3.503 \cdot 10^{19} k^2 + 3.503 \cdot 10^{19} k^2 V}$$

$$\frac{\Phi_{II}^{gr}}{\Phi_I^{gr} + \Phi_{II}^{gr} + \Phi_{III}^{gr} + \Phi_{IV}^{gr} + \Phi_{V}^{gr} + \Phi_{VI}^{gr}} = \frac{2.083 \cdot 10^{21}}{6.434 \cdot 10^{21} + 3.503 \cdot 10^{19} k^2 + 3.503 \cdot 10^{19} k^2 V}$$

$$\frac{\Phi_{III}^{gr}}{\Phi_I^{gr} + \Phi_{II}^{gr} + \Phi_{III}^{gr} + \Phi_{IV}^{gr} + \Phi_{V}^{gr} + \Phi_{VI}^{gr}} = \frac{2.206 \cdot 10^{21}}{6.434 \cdot 10^{21} + 3.503 \cdot 10^{19} k^2 + 3.503 \cdot 10^{19} k^2 V}$$

$$\frac{\Phi_{IV}^{gr}}{\Phi_I^{gr} + \Phi_{II}^{gr} + \Phi_{III}^{gr} + \Phi_{IV}^{gr} + \Phi_{V}^{gr} + \Phi_{VI}^{gr}} = \frac{0.4166(8.580 \cdot 10^{20} + 2.243 \cdot 10^{19} k^2 + 2.243 \cdot 10^{19} k^2 V)}{6.434 \cdot 10^{21} + 3.503 \cdot 10^{19} k^2 + 3.503 \cdot 10^{19} k^2 V}$$

$$\frac{\Phi_V^{gr}}{\Phi_I^{gr} + \Phi_{II}^{gr} + \Phi_{III}^{gr} + \Phi_{IV}^{gr} + \Phi_{V}^{gr} + \Phi_{VI}^{gr}} = \frac{0.2007(1.425 \cdot 10^{21} + 6.333 \cdot 10^{19} k^2 + 6.333 \cdot 10^{19} k^2 V)}{6.434 \cdot 10^{21} + 3.503 \cdot 10^{19} k^2 + 3.503 \cdot 10^{19} k^2 V}$$

$$\frac{\Phi_{VI}^{gr}}{\Phi_I^{gr} + \Phi_{II}^{gr} + \Phi_{III}^{gr} + \Phi_{IV}^{gr} + \Phi_{V}^{gr} + \Phi_{VI}^{gr}} = \frac{4.499(6.128 \cdot 10^{19} + 2.884 \cdot 10^{18} k^2 + 2.884 \cdot 10^{18} k^2 V)}{6.434 \cdot 10^{21} + 3.503 \cdot 10^{19} k^2 + 3.503 \cdot 10^{19} k^2 V}$$

$$\frac{\Phi_I^{gr}}{\Phi_I^{gr} + \Phi_H^{gr} + \Phi_{II}^{gr} + \Phi_{III}^{gr}} = (444.4(k+10)^2(2.500 \cdot 10^{20} + 3.700 \cdot 10^{19}k^2 + 3.700 \cdot 10^{19}k^2V)) /$$

$$(6.312 \cdot 10^{23}k^3 + 3.846 \cdot 10^{24}k^2 + 4.183 \cdot 10^{24}k + 4.121 \cdot 10^{22}k^4V^2 + 2.239 \cdot 10^{25} + \\ + 3.592 \cdot 10^{24}k^2V + 1.205 \cdot 10^{23}k^4V + 6.312 \cdot 10^{23}k^3V + 7.932 \cdot 10^{22}k^4 + 3.564 \cdot 10^{21}k^5V + \\ + 8.910 \cdot 10^{19}k^6V^2 + 1.782 \cdot 10^{21}k^5V^2 + 1.782 \cdot 10^{20}k^6V + 9.910 \cdot 10^{19}k^6 + 1.782 \cdot 10^{21}k^5)$$

$$\frac{\Phi_H^{gr}}{\Phi_I^{gr} + \Phi_H^{gr} + \Phi_{II}^{gr} + \Phi_{III}^{gr}} = (360.4(k+10)^2(2.500 \cdot 10^{20} + 3.700 \cdot 10^{19}k^2 + 3.700 \cdot 10^{19}k^2V)) /$$

$$(6.312 \cdot 10^{23}k^3 + 3.846 \cdot 10^{24}k^2 + 4.183 \cdot 10^{24}k + 4.121 \cdot 10^{22}k^4V^2 + 2.239 \cdot 10^{25} + \\ + 3.592 \cdot 10^{24}k^2V + 1.205 \cdot 10^{23}k^4V + 6.312 \cdot 10^{23}k^3V + 7.932 \cdot 10^{22}k^4 + 3.564 \cdot 10^{21}k^5V + \\ + 8.910 \cdot 10^{19}k^6V^2 + 1.782 \cdot 10^{21}k^5V^2 + 1.782 \cdot 10^{20}k^6V + 8.910 \cdot 10^{19}k^6 + 1.782 \cdot 10^{21}k^5)$$

$$\frac{\Phi_{II}^{gr}}{\Phi_I^{gr} + \Phi_H^{gr} + \Phi_{II}^{gr} + \Phi_{III}^{gr}} = ((7857 + 1163k^2 + 1163k^2V) /$$

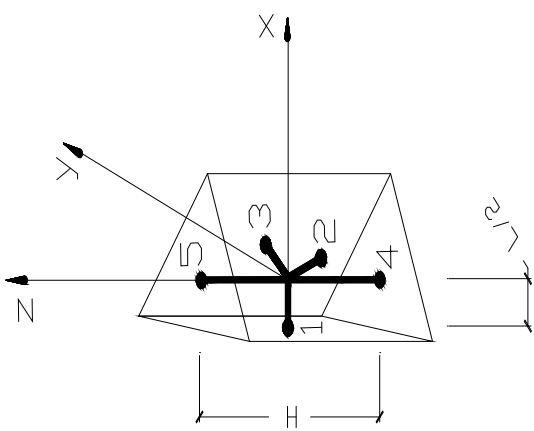
$$(1.877 \cdot 10^{20} + 3.341 \cdot 10^{19}k^2 + 2.778 \cdot 10^{19}k^2V)) /$$

$$(6.312 \cdot 10^{23}k^3 + 3.846 \cdot 10^{24}k^2 + 4.183 \cdot 10^{24}k + 4.121 \cdot 10^{22}k^4V^2 + 2.239 \cdot 10^{25} + \\ + 3.592 \cdot 10^{24}k^2V + 1.205 \cdot 10^{23}k^4V + 6.312 \cdot 10^{23}k^3V + 7.932 \cdot 10^{22}k^4 + 3.564 \cdot 10^{21}k^5V + \\ + 8.910 \cdot 10^{19}k^6V^2 + 1.782 \cdot 10^{21}k^5V^2 + 1.782 \cdot 10^{20}k^6V + 8.910 \cdot 10^{19}k^6 + 1.782 \cdot 10^{21}k^5)$$

$$\frac{\Phi_{III}^{gr}}{\Phi_I^{gr} + \Phi_H^{gr} + \Phi_{II}^{gr} + \Phi_{III}^{gr}} = (1.287 \cdot 10^{-18}(k+10)^2(2.500 \cdot 10^{20} + 3.700 \cdot 10^{19}k^2 + 3.700 \cdot 10^{19}k^2V)) /$$

$$(2.476 \cdot 10^{19} + 1.8711 \cdot 10^{18}k^2 + 1.871 \cdot 10^{18}k^2V)) /$$

$$(3.846 \cdot 10^{24}k^2 + 6.312 \cdot 10^{23}k^3 + 6.312 \cdot 10^{23}k^3V + 1.205 \cdot 10^{23}k^4V^2 + 4.121 \cdot 10^{22}k^4V^2 + \\ + 7.932 \cdot 10^{22}k^4 + 1.782 \cdot 10^{21}k^5V^2 + 8.910 \cdot 10^{19}k^6V^2 + 3.564 \cdot 10^{21}k^5V + 1.782 \cdot 10^{20}k^6V + \\ + 4.183 \cdot 10^{24}k + 2.239 \cdot 10^{25} + 3.592 \cdot 10^{24}k^2V + 1.782 \cdot 10^{21}k^5 + 8.910 \cdot 10^{19}k^6)$$



$$\frac{\Phi_I^{gr}}{\Phi_I^{gr} + \Phi_H^{gr} + \Phi_{III}^{gr} + \Phi_{IV}^{gr}} = (2.162 \cdot 10^{-17} (1.667 \cdot 10^{20} + 2.467 \cdot 10^{19} k^2 + 2.467 \cdot 10^{19} k^2 \nu + 5.000 \cdot 10^{19} k)^2) /$$

$$(4.379 \cdot 10^{23} k + 2.4566 \cdot 10^{22} k^4 \nu^2 + 6.552 \cdot 10^{22} k^3 + 4.165 \cdot 10^{23} k^2 + 5.256 \cdot 10^{22} k^4 \nu + \\ + 6.552 \cdot 10^{22} k^3 \nu + 2.800 \cdot 10^{22} k^4 + 1.051 \cdot 10^{20} k^5 + 2.593 \cdot 10^{19} k^6 + 1.105 \cdot 10^{24} +$$

$$+ 3.283 \cdot 10^{23} k^2 \nu + 1.051 \cdot 10^{20} k^5 \nu^2 + 2.593 \cdot 10^{19} k^6 \nu^3 + 2.102 \cdot 10^{20} k^5 \nu + 7.779 \cdot 10^{19} k^6 \nu + 7.779 \cdot 10^{19} k^6 \nu)$$

$$\frac{\Phi_H^{gr}}{\Phi_I^{gr} + \Phi_H^{gr} + \Phi_{III}^{gr} + \Phi_{IV}^{gr}} = (3.896 \cdot 10^{-18} (1.667 \cdot 10^{20} + 2.467 \cdot 10^{19} k^2 + 2.467 \cdot 10^{19} k^2 \nu + \\ + 5.000 \cdot 10^{19} k)^2) /$$

$$(4.379 \cdot 10^{23} k + 2.4566 \cdot 10^{22} k^4 \nu^2 + 6.552 \cdot 10^{22} k^3 + 4.165 \cdot 10^{23} k^2 + 5.256 \cdot 10^{22} k^4 \nu + \\ + 6.552 \cdot 10^{22} k^3 \nu + 2.800 \cdot 10^{22} k^4 + 1.051 \cdot 10^{20} k^5 + 2.593 \cdot 10^{19} k^6 + 1.105 \cdot 10^{24} +$$

$$+ 3.283 \cdot 10^{23} k^2 \nu + 1.051 \cdot 10^{20} k^5 \nu^2 + 2.593 \cdot 10^{19} k^6 \nu^3 + 2.102 \cdot 10^{20} k^5 \nu +$$

$$+ 7.779 \cdot 10^{19} k^6 \nu^2 + 7.779 \cdot 10^{19} k^6 \nu)$$

$$\frac{\Phi_{III}^{gr}}{\Phi_I^{gr} + \Phi_H^{gr} + \Phi_{III}^{gr} + \Phi_{IV}^{gr}} = ((2252 + 3333.3k^2 + 3333.3k^2 \nu) /$$

$$(1.667 \cdot 10^{20} + 3.467 \cdot 10^{19} k^2 + 2.467 \cdot 10^{19} k^2 \nu)) /$$

$$(4.379 \cdot 10^{23} k + 2.4566 \cdot 10^{22} k^4 \nu^2 + 6.552 \cdot 10^{22} k^3 + 4.165 \cdot 10^{23} k^2 + 5.256 \cdot 10^{22} k^4 \nu + \\ + 6.552 \cdot 10^{22} k^3 \nu + 2.800 \cdot 10^{22} k^4 + 1.051 \cdot 10^{20} k^5 + 2.593 \cdot 10^{19} k^6 + 1.105 \cdot 10^{24} +$$

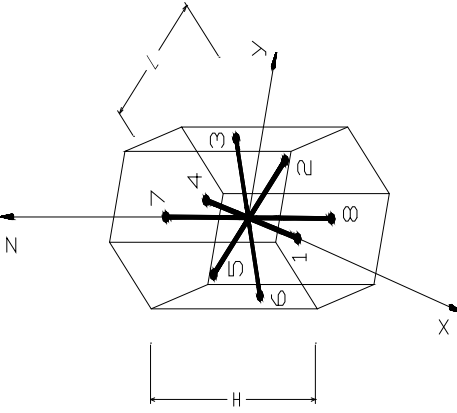
$$+ 3.283 \cdot 10^{23} k^2 \nu + 1.051 \cdot 10^{20} k^5 \nu^2 + 2.593 \cdot 10^{19} k^6 \nu^3 + 2.102 \cdot 10^{20} k^5 \nu + 7.779 \cdot 10^{19} k^6 \nu + 7.779 \cdot 10^{19} k^6 \nu)$$

$$\frac{\Phi_{IV}^{gr}}{\Phi_I^{gr} + \Phi_H^{gr} + \Phi_{III}^{gr} + \Phi_{IV}^{gr}} = ((7.559 \cdot 10^{-19} + 4.261 \cdot 10^{-20} k^2 + 4.261 \cdot 10^{-20} k^2 \nu) /$$

$$(1.667 \cdot 10^{20} + 2.467 \cdot 10^{19} k^2 + 2.467 \cdot 10^{19} k^2 \nu + 5.000 \cdot 10^{19} k)^2) /$$

$$(4.379 \cdot 10^{23} k + 2.4566 \cdot 10^{22} k^4 \nu^2 + 6.552 \cdot 10^{22} k^3 + 4.165 \cdot 10^{23} k^2 + 5.256 \cdot 10^{22} k^4 \nu + \\ + 6.552 \cdot 10^{22} k^3 \nu + 2.800 \cdot 10^{22} k^4 + 1.051 \cdot 10^{20} k^5 + 2.593 \cdot 10^{19} k^6 + 1.105 \cdot 10^{24} +$$

$$+ 3.283 \cdot 10^{23} k^2 \nu + 1.051 \cdot 10^{20} k^5 \nu^2 + 2.593 \cdot 10^{19} k^6 \nu^3 + 2.102 \cdot 10^{20} k^5 \nu + 7.779 \cdot 10^{19} k^6 \nu + 7.779 \cdot 10^{19} k^6 \nu)$$



TENSORY \mathbf{S} , \mathbf{C} I \mathbf{H} NIE SĄ WSPÓŁOSIOWE

Twierdzenie dotyczące energetycznej interpretacji warunku granicznego jest sformułowane dla dowolnych tensorów \mathbf{S} , \mathbf{C} i \mathbf{H} daje to możliwość rozpatrywania różnych typów symetrii materiału w stanie spreżystym i w stanie granicznym.

1. K. Kowalczyk, J. Ostrowska-Maciejewska, R. B. Pęcherski;
„An energy-based yield criterion for solids of cubic elasticity and orthotropic limit state”,
Arch. Mech., 2003, t. 55, s. 431–448
2. J. Ostrowska-Maciejewska, R. B. Pęcherski:
„Anizotropia spreżysta i wyteżenie cienkich warstw i powłok”,
MIIM PAN – IPPT PAN, Kraków 2006

Warunek graniczny typu Mises'a przyjmuje postać

$$\boldsymbol{\sigma} \cdot \mathbf{H} \cdot \boldsymbol{\sigma} = \frac{1}{h_1} \phi(\boldsymbol{\sigma}_1) + \frac{1}{h_2} \phi(\boldsymbol{\sigma}_2) + \dots + \frac{1}{h_\rho} \phi(\boldsymbol{\sigma}_\rho) = \frac{\sigma_1^2}{k_1^2} + \frac{\sigma_2^2}{k_2^2} + \dots + \frac{\sigma_\rho^2}{k_\rho^2} \leq 1$$

gdzie:

$$h_\alpha = \frac{k_\alpha^2}{2\lambda_\alpha}$$

jest graniczną wartością energii sprezystej dla naprężenia $\boldsymbol{\sigma}_\alpha$ - $\Phi(\boldsymbol{\sigma}_\alpha) = \frac{1}{h_\alpha} \frac{\sigma_\alpha^2}{2\lambda_\alpha} = \frac{\sigma_\alpha^2}{k_\alpha^2}$,

przestrzeń \mathcal{P}_α jest przestrzenią stanów bezpiecznych jeśli $k_\alpha \rightarrow \infty$.

Dla tensora podatności rozkład spektralny ma postać

$$\mathbf{C} = \frac{1}{\lambda_1} \mathbf{P}_1 + \dots + \frac{1}{\lambda_\rho} \mathbf{P}_\rho$$

gdzie tensor \mathbf{P}_k jest projektorem ortogonalnym dla tensora \mathbf{C} ,
w stanie sprezystym materiał posiada symetrię kubiczną: $k=I, II, III$

$$\mathbf{P}_I = \frac{1}{3} \mathbf{1} \otimes \mathbf{1}$$

$$\mathbf{P}_{II} = (\mathbf{K} - \frac{1}{3} \mathbf{1} \otimes \mathbf{1})$$

$$\mathbf{P}_{III} = (\mathbf{I}_S - \mathbf{K})$$

gdzie:

$$\mathbf{C} \circ \mathbf{S} = \mathbf{S} \circ \mathbf{C} = \mathbf{I}_S,$$

$$\begin{aligned} \mathbf{K} &= \mathbf{m}_1 \otimes \mathbf{m}_1 \otimes \mathbf{m}_1 + \mathbf{m}_2 \otimes \mathbf{m}_2 \otimes \mathbf{m}_2 + \mathbf{m}_3 \otimes \mathbf{m}_3 \otimes \mathbf{m}_3 \\ \mathbf{m}_1, \mathbf{m}_2, \mathbf{m}_3 &- kierunki elementarnego sześcielnianu \end{aligned}$$

Graniczna wartość energii sprężystej ma postać

$$\begin{aligned} \Phi(\boldsymbol{\sigma}) &= \frac{1}{2} \boldsymbol{\sigma} \cdot \mathbf{C} \cdot \boldsymbol{\sigma} = \Phi^I(\boldsymbol{\sigma}) + \Phi^{II}(\boldsymbol{\sigma}) + \Phi^{III}(\boldsymbol{\sigma}) = \\ &= \frac{1}{6} \frac{1}{\lambda_I} (tr \boldsymbol{\sigma})^2 + \frac{1}{2} \frac{1}{\lambda_{II}} [\boldsymbol{\sigma} \cdot \mathbf{K} \cdot \boldsymbol{\sigma} - \frac{1}{3} (tr \boldsymbol{\sigma})^2] + \frac{1}{2} \frac{1}{\lambda_{III}} [tr \boldsymbol{\sigma}^2 - \boldsymbol{\sigma} \cdot \mathbf{K} \cdot \boldsymbol{\sigma}] \end{aligned}$$

Dla tensora granicznego rozkład spektralny ma postać

$$\mathbf{H} = \frac{1}{K_1} \Gamma_1 + \dots + \frac{1}{K_6} \Gamma_6$$

gdzie tensor $\Gamma_1, \dots, \Gamma_6$ jest projektorem ortogonalnym dla tensora \mathbf{H} , w stanie granicznym materiał wykazuje ortotropię

$$\Gamma_1 = \boldsymbol{\chi}_1 \otimes \boldsymbol{\chi}_1, \dots, \Gamma_6 = \boldsymbol{\chi}_6 \otimes \boldsymbol{\chi}_6$$

$$\boldsymbol{\chi}_1 = \frac{1}{\sqrt{3}} \mathbf{I}, \boldsymbol{\chi}_2 = \cos \varphi \mathbf{a}_H + \sin \varphi \mathbf{a}_M, \boldsymbol{\chi}_3 = -\sin \varphi \mathbf{a}_H + \cos \varphi \mathbf{a}_M$$

$$\boldsymbol{\chi}_4 = \frac{1}{\sqrt{2}} (\mathbf{m}_2 \otimes \boldsymbol{\chi}_3 + \mathbf{m}_3 \otimes \mathbf{m}_2), \boldsymbol{\chi}_5 = \frac{1}{\sqrt{2}} (\mathbf{m}_1 \otimes \boldsymbol{\chi}_3 + \mathbf{m}_3 \otimes \mathbf{m}_1)$$

$$\boldsymbol{\chi}_6 = \frac{1}{\sqrt{2}} (\mathbf{m}_1 \otimes \boldsymbol{\chi}_2 + \mathbf{m}_2 \otimes \mathbf{m}_1)$$

gdzie: $\mathbf{a}_H = \frac{1}{\sqrt{2}} (\mathbf{m}_1 \otimes \mathbf{m}_1 + \mathbf{m}_2 \otimes \mathbf{m}_2), \quad \mathbf{a}_M = \frac{1}{\sqrt{6}} (\mathbf{m}_1 \otimes \mathbf{m}_1 + \mathbf{m}_2 \otimes \mathbf{m}_2 - 2\mathbf{m}_3 \otimes \mathbf{m}_3)$

φ – kąt obrotu tensorów $\mathbf{S}, \mathbf{C}_1, \mathbf{H}$

Uwzględniając

$$\Gamma_1 = \mathbf{P}_I, \quad \Gamma_2 + \Gamma_3 = \mathbf{P}_{II}, \quad \Gamma_4 + \Gamma_5 + \Gamma_6 = \mathbf{P}_{III}$$

Rozkład spektralny tensora podatności ma postać

$$\mathbf{C} = \frac{1}{\lambda_I} \Gamma_1 + \frac{1}{\lambda_{II}} (\Gamma_2 + \Gamma_3) + \frac{1}{\lambda_{III}} (\Gamma_4 + \Gamma_5 + \Gamma_6)$$

Wartość h wyznaczamy z zależności $\det(\mathbf{H} - \frac{1}{2h}\mathbf{C}) = 0$:

$$\begin{aligned} h_1 &= \frac{K_1}{2\lambda_I} \rightarrow \infty, & h_2 &= \frac{K_2}{2\lambda_{II}}, & h_3 &= \frac{K_3}{2\lambda_{II}}, \\ h_4 &= \frac{K_4}{2\lambda_{III}}, & h_5 &= \frac{K_5}{2\lambda_{III}}, & h_6 &= \frac{K_6}{2\lambda_{III}} \end{aligned}$$

Warunek graniczny ma postać

$$\boldsymbol{\sigma} \cdot \mathbf{H} \cdot \boldsymbol{\sigma} = \frac{2\lambda_{II}}{K_2} \phi(\boldsymbol{\sigma}_2) + \frac{2\lambda_{II}}{K_3} \phi(\boldsymbol{\sigma}_3) + \frac{2\lambda_{III}}{K_4} \phi(\boldsymbol{\sigma}_4) + \frac{2\lambda_{III}}{K_5} \phi(\boldsymbol{\sigma}_5) + \frac{2\lambda_{III}}{K_6} \phi(\boldsymbol{\sigma}_6) \leq 1$$

$$\phi^{II} = \phi(\boldsymbol{\sigma}_2) + \phi(\boldsymbol{\sigma}_3), \quad \phi^{III} = \phi(\boldsymbol{\sigma}_4) + \phi(\boldsymbol{\sigma}_5) + \phi(\boldsymbol{\sigma}_6)$$

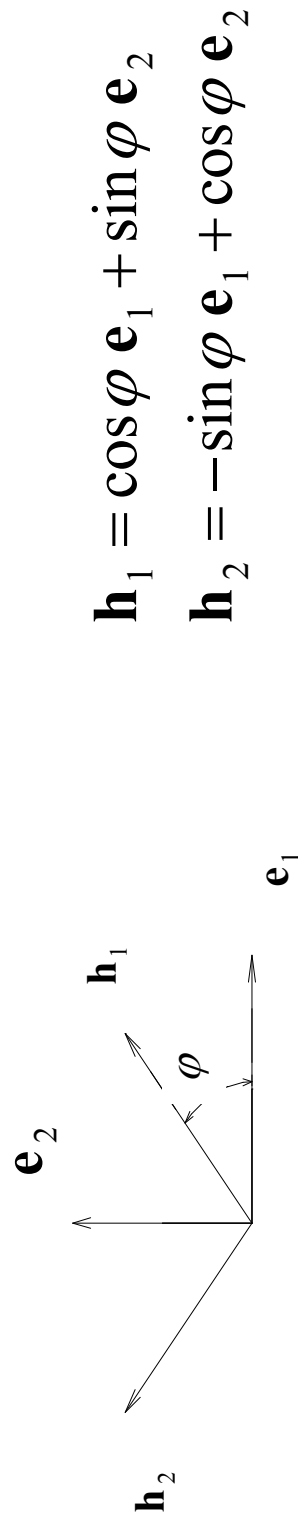
Ad 2

Aby podać warunek graniczny dla płaskich stanów, który ma charakter energetyczny wykorzystane jest twierdzenie dotyczące energetycznej interpretacji warunku granicznego.

Rozpatrywany materiał jest symetryczny zarówno w stanie sprężystym jak również w stanie granicznym. Dla stanów płaskich materiał posiada wówczas co najmniej symetrię prostokąta – jest materiałem ortotropowym.

Założono, że materiał jest ortotropowy w stanie sprężystym i granicznym o różnych osiach symetrii i różnych dystrybutورach.

W stanie sprężystym osiami symetrii są kierunki \mathbf{e}_1 i \mathbf{e}_2 na płaszczyźnie fizycznej. W stanie granicznym osiami symetrii są kierunki \mathbf{h}_1 i \mathbf{h}_2 obrócone względem \mathbf{e}_1 i \mathbf{e}_2 o kąt φ



W przestrzeni trójwymiarowej \mathcal{S} rozpatrywane są cztery ortonormalne bazy

$$\mathbf{a}_1, \mathbf{a}_2, \mathbf{a}_3, \rightarrow \boldsymbol{\omega}_I, \boldsymbol{\omega}_H, \boldsymbol{\omega}_{III}, \quad \mathbf{b}_1, \mathbf{b}_2, \mathbf{b}_3, \rightarrow \mathbf{n}_I, \mathbf{n}_H, \mathbf{n}_{III},$$

gdzie $\boldsymbol{\omega}_K$ i \mathbf{n}_L są stanami własnymi tensorów \mathbf{C}^p i \mathbf{H}^p .

Ich rozkłady spektralne mają postać:

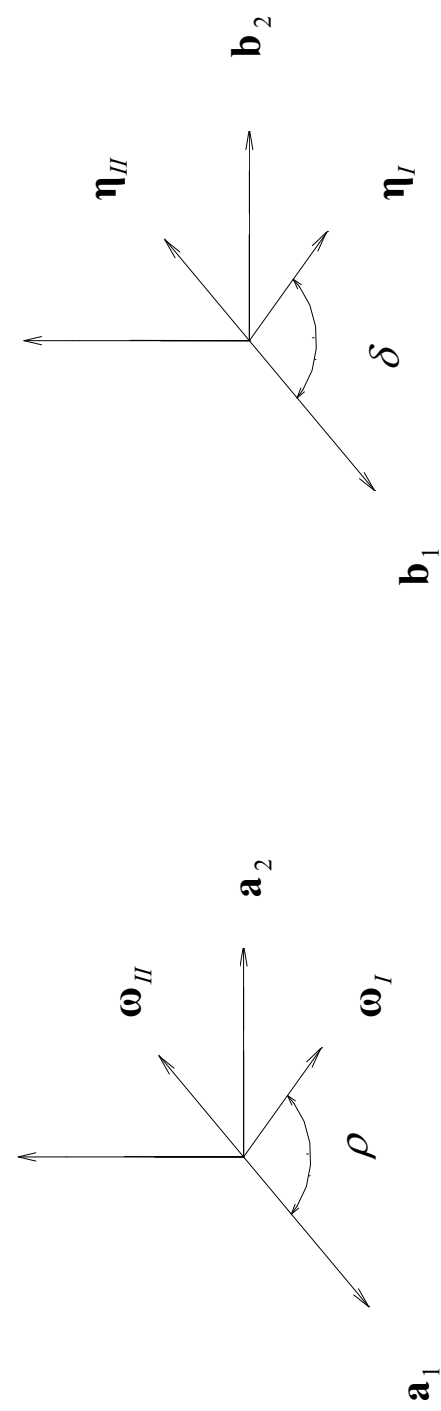
$$\mathbf{C}^p = \frac{1}{\lambda_1} \boldsymbol{\omega}_I \otimes \boldsymbol{\omega}_I + \frac{1}{\lambda_2} \boldsymbol{\omega}_H \otimes \boldsymbol{\omega}_H + \frac{1}{\lambda_3} \boldsymbol{\omega}_{III} \otimes \boldsymbol{\omega}_{III},$$

$$\mathbf{H}^p = \frac{1}{\chi_1^2} \mathbf{n}_I \otimes \mathbf{n}_I + \frac{1}{\chi_2^2} \mathbf{n}_H \otimes \mathbf{n}_H + \frac{1}{\chi_3^2} \mathbf{n}_{III} \otimes \mathbf{n}_{III}.$$

Stany własne $\mathbf{H}^p - \mathbf{n}_K$ rozłożono w bazie stanów własnych $\mathbf{C}^p - \boldsymbol{\omega}_K$

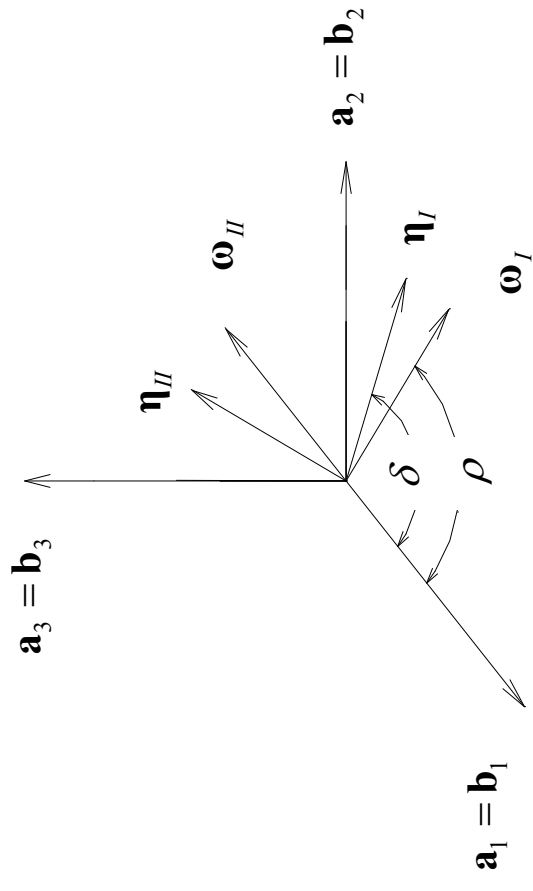
$$\mathbf{a}_3 = \boldsymbol{\omega}_{III}$$

$$\mathbf{b}_3 = \mathbf{n}_{III}$$



W pracy dyskutowane jest kryterium J. Rychlewskiego dla różnych symetrii

- 1). $\varphi = 0$ - przypadek, gdy osie symetrii w stanie sprzążystym i granicznym pokrywają się ($\mathbf{e}_i = \mathbf{h}_i$)



- 2). $\rho = \frac{\pi}{4}$ $\varphi \neq 0$
- 3). $\delta = \frac{\pi}{4}$ $\varphi \neq 0$
- 4). $\rho = \delta$ $\varphi \neq 0$